

Расчет оборудования из реактопласта

Основан на ГОСТ Р 56072-2012 "Емкости из реактопластов, армированных стекловолокном. Технические условия"

Заказчик: Заказчик

НПЗ: 1234

Наименование: Колонна фбм

Обозначение: БН

Содержание:

- Р.1 Определение категорий емкости
- Р.2 Определение расчетного коэффициента по Приложению А
- Р.3 Механические свойства памяти
- Р.4 Определение допустимых и расчетных нагрузок по Приложению А
- Р.5.1 Расчет вертикальной цилиндрической емкости на плоском основании или споре
- Р.5.2 Расчет вертикальной цилиндрической подвешенной емкости
- Р.5.3 Расчет корпуса цилиндрической и формы на внешнее давление (вакуум)
- Р.5.4 Расчет конусной крышки на внешнее давление (вакуум)
- Р.6.1 Расчет эллиптического днищадыши по Приложению Ж
- Р.6.2 Расчет торосферического днищадыши по Приложению Ж ГОСТ
- Р.6.3 Расчет сферического днищадыши по Приложению Ж
- Р.6.4 Расчет торосферического днищадыши по разделу 10.5 EN13121-3:2016
- Р.6.5 Расчет конических днищ с изгибом по Приложению Ж
- Р.6.6 Расчет конических днищ без изгиба по Приложению Ж
- Р.7.1 Расчет плоской круглой панели по Приложению Е
- Р.7.2 Расчет плоской премиум-угольной панели по Приложению Е
- Р.7.3 Расчет пластин в форме части круга и треугольных пластин по Приложению Е
- Р.9.1 Расчет круглого болтового фланцевого соединения полнопрофильного фланца по Приложению Л
- Р.9.2 Расчет круглых болтовых фланцевых соединений полнопрофильных фланцев по Приложению Л
- Р.10 Отверстия, патрубки и компенсация по Приложению К
- Р.11.1 Расчет опорного утолщения обечайки на смятие и срез
- Р.11.2 Приложение 1- Прототип испытаний образцов стеклопластика
- Р.12 Расчет кольцевой опоры вертикально подвешенного сосуда на основе BS EN 13121-3:2016
- Р.12.1 Расчет геометрических характеристик сечения
- Р.12.2 Расчет геометрических характеристик сечения
- Р Приложение 1. Геометрия приформовки патрубков для беззапорных емкостей

Легенда:

- Константы (черного цвета, без заливки)
- Исходные данные (светлая кремовая заливка, могут быть красные звездочки)
- Результат (светлоизмененная заливка)
- Шапки таблиц (светлосерая заливка)
- △ Данные значком отмечены примечания к расчету

Составил: _____ ФИО _____ Подпись _____ Дата _____

Проверил: _____ ФИО _____ Подпись _____ Дата _____

МП

г.Нижний Новгород
2019г.

Ред. 34

Категория	Условия			Логическая сумма условий	Принятая категория емкости
	Температура (табл. 4.1.)	Давление или вакуум (табл. 5.1)	Объем (п.п.5.5.2)		
	$t_{раб} = 20$	Р, Па	$V, \text{ м}^3$		
1	2	3	4	5	6
Категория I	ЛОЖЬ	ЛОЖЬ	ИСТИНА	ИСТИНА	Категория I
Категория II	ЛОЖЬ	ЛОЖЬ	ЛОЖЬ	ЛОЖЬ	
Категория III	ИСТИНА	ИСТИНА	ЛОЖЬ	ИСТИНА	

Только гидростатический напор? Да

Пояснения к разделу:

Выбор категории емкости производится согласно табл. 4.1; 5.1, и раздела 5.2.2.

Категория емкости	Таблица 4.1	Таблица 5.1	п 5.2.2.
	Температура рабочих сред, Т, °C	Давление или вакуум, Па	
Категория I ²	$(HDT-40) < T < (HDT-20)$	± 500	более 50
Категория II ²	$60sTs(HDT-40)$	≤ 500	от 10 до 50
Категория III ²	$T < 60;$ $Ts(HDT-40)$	Гидростатический напор	не более 10

1. За значение рабочей температуры среды принимают наименьшее значение.
Δ 2. Выше гидростатического напора.

Согласно разделу 5.5.1 ГОСТ 55072-2012 от категории емкости зависят требования к внутреннему защитному сплою:

- Для емкостей I-й категории внутренний химстойкий слой изготавливают из рубленого стекловолокна массой на единицу площади не менее 1.2 кг/м² из CSM, массовая доля которого должна быть от 25% до 33%. Для емкостей II-й и III-й категорий допускается использование рубленого стекловолокна или CSM массой на единицу площади до 0.62 кг/м².

P.2 Определение расчетного коэффициента по Приложению А

[к Справлению](#)

A.2 Общий расчетный коэффициент

$$K = \text{Max}(K_1, K_{\text{пп}}) = 8,4$$

(A.1)

где:

$$K = C \cdot K_1 \cdot K_2 \cdot K_3 \cdot K_4 \cdot K_5 = 8,4$$

$$\text{и } K_{\text{пп}} = 8$$

минимальный расчетный коэффициент К

где:

C ГОСТ Р 55072-2012 (BS 4994-87)	3	константа долгосрочной нагрузки
K ₁ Ручной, машинная намотка или машинное распыление	1,0	коэффициент метода производства
K ₂ Термопласти нет. Среда хорошая	1,0	-/- длительности работы
K ₃ HDT 100, трасч=20 град С	1	-/- температуры
K ₄ Общее количество циклов нагружения - 2000	1,19	-/- циклического
K ₅ Без поэтапного холдинга	1,3	-/- процедуры отверждения

В редких случаях при краткосрочных критических износовых условиях (не более 10 раз за время эксплуатации напорной емкости и длительностью не более 30 мин) может использоваться общий расчетный коэффициент, меньший, чем вычисленное значение общего расчетного коэффициента, но не меньший 8

Константа, отражающая уменьшение прочности материала долгосрочной нагрузкой

№ п/п	Стандарт	C	K _{пп}
1	ГОСТ Р 55072-2012 (BS 4994-87)	3	8
2	BS EN 13121-3-2016 (C=Y _н Y _д)	2,1	6
3	ТУ 2296-001-50688869-2003, ООО "Новакомстрой"	1,5	4

где:

$$K\text{-надежности по материалу } Y_n = 1,4 \text{ см.п.л.7.9.5.7 EN 13121-3:2016}$$

$$K\text{-надежности по нагрузке } Y_d = 1,5 \text{ см.п.л.9.3 EN 13121-3:2016}$$

A.2.1 K-т метода производства K₁={1,5..3}

№ п/п	Метод производства	K ₁
1-3	Ручной, машинная намотка или машинное распыление	1,5
2	Ручное распыление (чоппер)	3

A.2.2 K-т длительности работы K₂={1,2..2} - см.прил.С, метод А

№ п/п	Критерий	K ₂
1	Термопласт есть (PP, PE, PVdC, PVDF, ECTFE, пр.)	1,2
2	Термопласти нет. Среда хорошая	1,2 потеря 20% прочности

Метод Б

Среда	Серная к-та
t _{расх}	K2

20 1,2 потеря 20% прочности

3 Термопласти нет. Среда нормальная	1.2	потеря 35% прочности	20	1.200
4 Термопласти нет. Среда плохая	2	потеря 50% прочности	100	2
5 По методу Б	1.200	потеря 50% прочности		

Примечание к методу А:

⚠ Если потеря прочности составляет более 50% предела прочности при растяжении, то ламинат непригоден

A2.3 К-т температуры $K_3 = \{1...1.25\}$

Коэффициент K_3 , соответствующий температуре, принимает значение, находящееся в интервале от 1 до 1.25.

Значение коэффициента K_3 , соответствующего температуре, зависит от температуры тепловой деформации и вычисляют по рисунку А.1.

Температура расчетная, $t_{\text{расч}}$

20

$K_3 = 1$

Предварительный выбор конструкционной смолы (НДТ принятой в производстве смолы должна быть не менее предварительно выбранной):

MRE 71

100

НДТ смолы принятая в расчёте

100

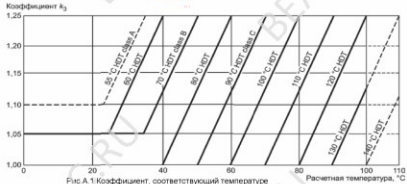


Рис. А.1 Коэффициент, соответствующий температуре

⚠ В связи с тем, что опыт эксплуатации емкостей в диапазоне температур выше 100°C ограничен, рекомендуется глубокая проработка вопроса между потребителем и производителем, если существует необходимость использовать напорную емкость в этом диапазоне температур.

Пересечение: 2 столбец

6 строка

№ п/п	HDT смолы	К _т при расчетной температуре, °С:										
		0	20	25	35	40	50	60	70	80	90	100
1	55	1,1	1,1	1,1	1,25	■НД						
2	60	1,05	1,05	1,05	1,2	1,25	■НД	■НД	■НД	■НД	■НД	■НД
3	70	1,05	1,05	1,05	1,05	1,125	1,25	■НД	■НД	■НД	■НД	■НД
4	80	1	1	1	1	1	1,125	1,25	■НД	■НД	■НД	■НД
5	90	1	1	1	1	1	1,125	1,25	■НД	■НД	■НД	■НД
6	100	1	1	1	1	1	1	1,125	1,25	■НД	■НД	■НД
7	110	1	1	1	1	1	1	1	1,125	1,25	■НД	■НД
8	120	1	1	1	1	1	1	1	1	1,125	1,25	■НД
9	130	1	1	1	1	1	1	1	1	1	1,125	1,25
10	140	1	1	1	1	1	1	1	1	1	1	1,125

Примечание: ■НД - нет данных.

A2.4 К-т циклических нагрузок K_{т,ц}(1...2)

Коэффициент K_т, соответствующий циклическим нагрузкам, учитывает вероятные рабочие условия эксплуатации напорных емкостей и вычисляется по рис. А.2.

В год	В мес	В день
100	8,3	0,27

Тогда заполнение/опорожнение каждые 3,7 дня

Планируемый срок службы аппарата, лет
Общее количество циклов нагружений

K_т

▲ Периодическое заполнение и опустошение принимается равным 1000 циклам

A2.5 К-т процедуры отверждения K_{т,о}=(1,1...1,5)

1 Для напорных емкостей на производстве подвергаются полному постотверждению при повышенной температуре, соответствующей типу смолы, коэффициент K_{т,о}, соответствующий процедуре отверждения, принимает значение 1,1.

2 Для напорных емкостей, не подвергающиеся полному постотверждению, расчетная температура рабочей среды которых не превышает 45°C, коэффициент K_{т,о}, соответствующий процедуре отверждения, принимает значение 1,3.

3 Для напорных емкостей, не подвергающиеся полному постотверждению, расчетная температура рабочей среды которых выше 45°C, коэффициент K_{т,о}, соответствующий процедуре отверждения, принимает значение 1,5.

Температура постотверждения должна выбираться так, чтобы ламинат соответствовал заданным механическим, температурным и

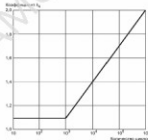


Рис. А.2 Коэффициент, соответствующий циклическим нагрузкам

⚠ химическим расчетным характеристикам. Для сплавов с высокими эксплуатационными характеристиками температура постотверждения обычно должна быть не менее 80°C, чтобы достичь максимальных свойств.
Если возможно, емкость должна быть постотверждена при расчетной температуре.

№ п/п	Постотверждение	K ₃
1	Полное постотверждение	1,1
2	без постотверждения	1,3 не превышает 45град.С

P.3 Механические свойства ламелей

[к Оглавлению](#)

По механическим свойствам ламели соответствуют следующим требованиям:

Т. 5.3 Свойства ламелей

№ п/п	Характеристика	Определение	Источник	Обозначение	Смоля			Не фуреновая
					Тип армирующего наполнителя			Ровинг - Однонаправленное волокно (в направлении волокна)
					Мат - CSM	Ткань - WR с полотняным переплетением (основа и уток)	M, T, R	
1	2	3	4	5	6	7	8	
1	Удельный предел прочности при растяжении, Н·м ² мм ²	Прочность, соответствующая типу армирования, выражаемая как отношение приложенной нагрузки на единицу ширины к массе армирующего материала	Испытания	U	300	372		520
2	Удельный модуль упругости при растяжении, Н·м ² мм ²	Отношение нагрузки к соответствующей относительной деформации ламели, подвергающейся испытанию на растяжение	По ГОСТ	X _d	14000	16000		26000
3	Прочность соединения внаклестку при сдвиге, Н·мм ²		По ГОСТ	S	7	6		6

Примечание:

Данные по U для мата, ткани и ровинга получены на электромеханической разрывной машине ИР 5092. Протокол испытаний №__ от "28" сентября 2018г.

P.4 Определение допустимых и расчетных нагрузок по Приложению А

[Справлению](#)

A.1 Предельно допустимая удельная нагрузка U_c для каждого типа ламели должна определяться по свойствам материала, приведенным в таблице 5.3 (см.Раздел 3), в соответствии с А.2-А.6 (А.7 для односторонних ровников).

Δ При расчётах на прочность термопластичный футеровочный слой не учитывается.

Если при расчёте конструкции требуется использовать допустимые сжимающие удельные нагрузки, то эти нагрузки необходимо определять в соответствии с А.2-А.6, подставляя удельный предел прочности при сжатии U_c вместо удельного предела прочности при растяжении U в формуле (А.2).

Δ Удельный предел прочности при сжатии U_c выполняют для каждой рассматриваемой ламели в соответствии с приложением Ч.

A.2 Общий расчетный коэффициент $K=8,4$ (вычислен в разделе 3).

A.3 Предельно допустимая удельная нагрузка U_c , Н·м²/мм·кг

По нагрузке:	Mat - CSM	Ткань - WR	Ровинг
U	300	372	520
$U_c = U/K =$	35,71	44,29	61,90

см. Разд. 3 табл.5.3

(A.2)

A.4 Максимальная допустимая деформация

$$\varepsilon_{\text{имп}}(\varepsilon, \varepsilon_{\text{дл}}) = 0,20\%$$

где:

$$\varepsilon = 0,2\% = 0,20\%$$

$$\varepsilon_{\text{дл.}} = 0,1 \cdot \min(\varepsilon_{\text{имп}}, \varepsilon_{\text{растяж}}) = 0,20\%$$

Материал футеровки

Браумер

Допустимая деформация
(табл.4 EN 13923-2005):

Материал	Граница, %
СПП	2%
PE	6%
PP	5%
PVC-C, PVC	4%
PVC-U	2,5%
PVDF	5%
ECTFE	5%

(A.4)

(A.3)

A.5 Предельно допустимая удельная нагрузка при растяжении U_b , Н·м²/мм·кг

По деформации:	Mat - CSM	Ткань - WR	Ровинг
X_b	14000	16000	28000
$U_b = X_b \cdot \varepsilon =$	28,00	32,00	56,00

см. Разд. 2 табл.5.3

(A.5)

A.6 Деформация при воздействии предельно допустимой удельной нагрузки, %

	Мат - CSM	Ткань - WR	Ровинг
$\epsilon_c = U_z / X_g =$	0,255%	0,277%	0,200%

2
3

(A.7)

Расчетная удельная нагрузка U_{z0} , Н·м/мм·кг (для ламината из Мата, Ткани и Ровинга):

$$U_z = U_b \text{ (при } U_b < U_L \text{)} \quad \text{или} \quad U_z = \epsilon_a X_g \text{ (при } U_b > U_L \text{)}$$

6

MTOX	Направление	Мат - CSM	Ткань - WR	Ткань однодиап.		Ровинг
				M	T	
	Окружное			28	32	0,000
	Осьевое			28	32	50,443
						0,000
						22,610
						6,250

(A.6)

Расчетная удельная нагрузка U_{z0} , Н·м/мм·кг (для ламината только из Мата и Ткани):

$$U_z = U_b \text{ (при } U_b < U_L \text{)} \quad \text{или} \quad U_z = \epsilon_a X_g \text{ (при } U_b > U_L \text{)}$$

4

MT	Направление	Мат - CSM	Ткань - WR	Ткань однодиапр		
				M	T	
	Окружное			28	32	
	Осьевое			28	32	50,443

(A.6)

A.7 Расчетная удельная нагрузка в окружном и продольном напр. для односторонних ровингов и ткани

Тип	Наименование слоя	Угол намотки θ , °	F_0	F_X	Окружной удельный модуль $X_0 \cdot K_{\text{ровинг}}$	Продольный удельный модуль $X_{\text{ткань}}$	$O \quad U_{z0} = X_0 \cdot \epsilon_a \cdot F_0 =$ (A.8)	$X \quad U_{z0} = X_X \cdot \epsilon_a \cdot F_X =$ (A.8)
O	Кольцо	88,78	1	0	28016	4649	56,03	0,00
X	Перекр.	65	0,7	0,7	16150	4464	22,61	6,25
R	Ткань односторон	1,34	0	1	4639	28024	0,00	50,44

 $K_{\text{ровинг}} =$ 1 к-т между U_z ровинга, определенного испытаниями и по табл. 5.3

Определение угла кольцевой намотки:

Ровинг Ткань

Нитей	48	Ткань
Ширина "расчески", мм	200	220
Угол кольцевой, градус	88,78	1,34

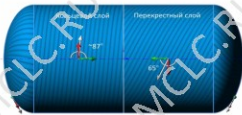


Рис. Углы в кольцевом и перекрестном слоях

Т. А.2

Коэффициенты, применяемые при определении расчетной единичной нагрузки и учитывающие намотку непрерывных ровиков под разными углами

Угол намотки (к продольной оси)	F_o	F_x
$0 < \theta < 15$	0	1
$15 < \theta < 75$	0,7	0,7
$75 < \theta < 90$	1	0

К-т: Испытания

Примечания

- Допускается использовать более высокие значения продольного и окружного коэффициента, если был проведен анализ анизотропной упругости.
Этот анализ учитывает вклад каждого слоя в ламинате и взаимное влияние относительной линейной деформации и деформации сдвига.

Р.5.1 Расчет вертикальной цилиндрической вымостки на плоское основание при открытии

Исходные данные:

Карт-4

Геометрические размеры:

Внутренний диаметр D, м	3000
Высота вымостки H, м	13500
Максимальная высота H ₀ , м	5000
Высота рассматриваемой точки H ₁ , м	5

Нагрузки:

Нейтральное давл. p ₀ , МПа (грав.)	0
Плотность ядрового слоя, кг/м ³	1100
Гидростат. давл. в рас很深. точке p ₁ , МПа (грав.)	0,0545 (0,5)
Вес индивидуальной расчетной вымостки W ₁ , т	301395 (3987)
Вес вымостки рассматриваемой H ₁ , т	0,05



Мо. момент от действия силы, Н·м (грав.)

Снеговая нагрузка на пандусу, Н/м	0 (0)
Вес ядрового слоя на единицу длины, Н/м	5 391 (5 611)
Вес цилиндрической стены, Н/м	44 934 (45 650)
Общий вес, Н/м	50 325 (51 911)
Вес части индивидуальной расчетной вымостки W ₁ , Н/м	50 325 (51 911)

Сила на ядро, кН
Площадь стены, м²
Плотность ядрового слоя, кг/м³

B.1 Максимальный отрывочный единичный нагрузка, кН/м

$$Q_{\text{отр}}(p_{\text{нейт}}+p_1) = 0,93$$

(B.1)

B.2.1 Максимальный продольный единичный нагрузка (если эта вымостка имеет склон), кН/м

$$Q_{\text{прод}}(p_{\text{нейт}}+W_1 \cdot H_1) = 15,51$$

(B.2)

$$Q_{\text{прод}}(p_{\text{нейт}}+W_1 \cdot H_1) = -26,31$$

Примечание в зависимости от расположения рассматриваемой точки:

$$Q_{\text{отр}} = 15,51 \text{ расстояние}$$

$$Q_{\text{отр}} = -26,31 \text{ склон}$$

Расстояние Склон-1

15,51 2,00

0,00 26,31

15,51 26,31

0,00 26,31

B.1 Расчет толщины стены

ЕД-10-10-0

При расчете конструкционный слой без учета износа:

$$D_{\text{ст}} + D_{\text{изн}} + D_{\text{зап}} = 40 + 2 + 40 = 82$$

Высота рассматриваемой точки H₁, м

0

Код строки	Тип армирования	Кол-во слонов	Армирование (слонов)			Толщина, мм		Примечание в направлении всего, Н/м			Модуль упругости при растяжении заполненный, Н/м ²			
			Плотность слоя и, кг/м ³	Объем, м ³	Содержание ячеек, листов	слон	обрат	окружен- ным предложен- ным (диамет- ром)	предложен- ным (диамет- ром)	X ₁₀	X ₂₀	X ₃₀	X ₄₀	
I														
V	V.10													
M	M.100	3	300	0,9	30	0,824	1,672	25,0	25,2	20,0	28,0	14000	76000	12600
M	M.600													
T	T.500													
T	T.800													
D	D.500	4	510	2,354	70	0,449	1,196	125,1	0,0	56,0	0,0	4460	20010	10732
X	X.1270	8	2210	10,16	70	0,991	7,926	229,7	83,5	22,6	8,2	4460	16150	45356
R	R.274													

Итого:

15

13,384

11,5

384,8

88,7

88,9

76,3

69998

24129

U_{ст} 520,102 18851,14

Прочность, Н/мм, требуется:

Затяж сдвиг K₁₀ 4

Высота

Ок

Ок

B.2.3 Допустимая схема для продольного нагружения, Н/мм (поперечное)

$$D_{\text{ст}} \times 0,5 \cdot L_{\text{ст}} \cdot X_{\text{ст}} / \pi^2 \cdot D_{\text{ст}}^2 = 30,19 >$$

128

26,31 (B.2)

P	4	коэффициент поглощения радиации из-за изгиба
$\chi_{\text{изг}} \cdot \chi_{\text{вн}}$	0.9944	Характеристический изгиб
D	3022	износостойкий диаметр корпуса, мм

Приложение к таблам по упрощению:

№ п/п	Параллель	Толщина центр. слоя, мм	Высота расмотрим аномалии тепла №	Запас сжатия ВКЛ		Толщина, мм		
				окружное (радиальное)	продольное (стенка)	Вкл. в слой	Нар. в слой	
1	2×0576+0.1×1270+2×0576/2	6.4	диам. 103	1.05	2.17	1.66	1.5	6
2	2×0576+0.1×1270+2×0576/2	6.7	диам. 200	22	18.57	1.66	1.5	12
3						1.66	1.5	4
4						1.66	1.5	4
5						1.66	1.5	4

9.3. Рассчет максимальной пропускной способности

Who's Who in the World

第10章

第二章 中国古典文学

Внутрінній діаметр D, мм	30,3
Висота висоти H, мм	1500
Максимальна висота висоти H ₁ , мм	3600
Висота підлоги над H ₁ , мм	2500
Висота десантної тонни H ₂ , мм	3730

On some generalizations

Нагрузка:	Избыточное давл. а., МПа (имп.)	0,0000
	Плотность жидкости в кг/м ³	1100
Гидростат. давл. в расчете на землю г., МПа (имп.)		0,0000 (0,0)
Вес единицы расходной массы Н-металла		0 (0)
Вес единицы расходной массы Н-пластик		2149999 (-3992)
Баланс для расчета предела нагрузки?		НЕТ

Максимум от силы атмосф. вл. Н.Н. на 14 м	
Суммарная нагрузка на крышу, Н/кв.м.	4 960 (52)
Все времена и места, что на них, Н.Н.	4 960 (496)
Всё запроектированное строение, Н.Н.	3 144 (3121)
Всё днешко и место, что на них, Н.Н.	4 960 (496)
Общая вес, Н.Н.	39 112 (3834)
Бес-частей выше земли расстояние, Н.Н.	70 958 (7266)
Всё частей выше земли расстояние, Н.Н.	26 194 (2670)

8.1 Максимальная токсичная концентрация, Нмк
С₁ при 20°C =

19

3.2.5 Минимальная продолжительность оценки налога, Нис

$$\text{Скорость всплытия: } \Delta h = D_{\text{вн}} - D_{\text{вн}}^{\text{спл}} = 7.5 \text{ м/с}$$

НІЖНЕ ПІДВІСІЙСТВІ СПІВАННЯ

AMMnO₂H₂O, MnO₂-
AMMnO₂H₂O, MnO₂-

◎本刊编辑部对读者来信所提问题，将定期予以解答。

	FACT	CASH
G. <i>total</i>	8,88	7,53
G. <i>total net</i>	8,88	7,53

5.3 常见的物理量单位

July 2010

DEBT: 2009-10 budget deficit \$100 billion, 2010-11 budget deficit \$120 billion

Итого: 8 5,16 5,785 123,9 61,6 334,6 86,432
Повысить: 0,00, 0,00, 0,00, 0,00, 0,00, 0,00, 0,00

Прочность, МПа, требуемая: 8,8 7,5
Запас прочности: 0,4 0,000000 0,10

www.english-test.net

9.2.3 Допустимая скошенная привальная нагрузка. Нормативы

Q-H-51, S., W.D., 10.00 750.00

[View Details](#) [Edit](#) [Delete](#)

Слайд 1 из 1 | Слайдов: 1 | Время: 00:00:00 | Установка: 00:00:00

Создано в системе «Университетский портал»

www.silvagenetics.com

1071

Подбір топінген по уроцю

№ п/п	Период	Температура конкетр. слой, °С	Высота расстояния жидкой точки ИКТ, м	Частота вспышки ИКТ-6		Наружн. слой	Наружн. слой	Общая
				одн. (число)	предельное (оценка)			
1	00:00-06:00	-10	0.5	3.00	1.13	2.86	1.5	2.86
2	06:00-12:00	-10	0.5	3.00	1.13	2.86	1.5	2.86
3	12:00-18:00	-10	0.5	3.00	1.13	2.86	1.5	2.86
4	18:00-00:00	-10	0.5	3.00	1.13	2.86	1.5	2.86
5	00:00-06:00	-10	0.5	3.00	1.13	2.86	1.5	2.86
6	06:00-12:00	-10	0.5	3.00	1.13	2.86	1.5	2.86
7	12:00-18:00	-10	0.5	3.00	1.13	2.86	1.5	2.86
8	18:00-00:00	-10	0.5	3.00	1.13	2.86	1.5	2.86

Р.5.3 Расчет корпуса цилиндрической и формы на внешнее давление (вакуум)

Исходные данные:

Корпус

Геометрические размеры:

Внутренний диаметр D_i , мм

Max высота жидкости H_0 , мм

Высота плоскости опор H_s , мм

Высота рассматриваемой точки H_t , мм

По какой формуле считать:

Нагрузки:

Внешнее давление p_e , МПа (атм)

Плотность жидкости ρ_e , кг/м³

Гидростат. давл. в ресе точке p_{re} , МПа (атм)

Вес жидкости в ресе точки W_{re} , Н (кг)

Вес жидкости в ресе точки W_{re} , Н (кг)

Брать вес жидкости пред.натягом?

Макс. момент от ветра или сейсм. M , Н·м (Н·м)

Снеговая нагрузка на крышу, Н (кг)

Вес крыши и всего, что на ней, Н (кг)

Вес цилиндрической стенки, Н (кг)

Вес днища и всего, что на нем, Н (кг)

Общий вес, Н (кг)

Вес частей емк. выше рассчит. W_u , Н (кг)

Вес частей емк. ниже рассчит. W_d , Н (кг)

B.1 Максимальная окружная единичная нагрузка, Н/мм

$$Q_0 = \frac{p_e + p_{re}}{D_i} = -300.00$$

Рис.1 Расчетная схема

(B.1)

B.2.1 Максимальная продольная единичная нагрузка, Н/мм

Выше плоскости опоры:

$$Q_u = p_e D_i^4 + 4M D_i^3 W_e / m D_i = -150.00 \quad (B.3)$$

$$Q_d = p_e D_i^4 - 4M D_i^3 W_e / m D_i = -150.00$$

Над плоскостью опоры:

$$\rightarrow D_i^4 + 4M D_i^3 W_e / m D_i = \#НД$$

(B.4)

$$\rightarrow p_e D_i^4 + 4M D_i^3 W_e / m D_i = \#НД$$

Принимаем в зависимости от расположения рассматриваемой точки:

$$Q_{u,ск} = -150.00 \text{ сжатие}$$

$$Q_{d,ск} = -150.00 \text{ сжатие}$$

	Раст(+)	Сжат(-)
Q_u пак.	0.00	150.00
Q_d пак. зо.	0.00	150.00

Б.1 Расчет толщины стеки
ДЛ-м лн-о
Прог (полностью конструкционный слой без учета пакетного)

$$10_{\text{ст}} = 4X_{\text{ст}} + 0_{\text{ст}}/2^{\alpha} + 40_{\text{ст}}$$

Высота рассматриваемой точки Н₀, мм

0

Код слова	Тип армирования	Кол-во слоя ₁	Армирование (стекло)			Толщина, мм		Прочность, в направлении				Модуль упругости при растяжении						
			Плотность слоя, г/м ²	Общ. масса М, кг/м ²	Содержание, %массы	слой	общий	всего, Н/мм ²	на вд. Н/мм ² н-кт	окруженном (радиальная)	продольном (осевом)	окруженном (радиальная)	продольном (осевом)	X ₁₁	X ₂₂	X ₁₂	X ₂₁	
1	V30	1	300	0.3	30	0.624	0.624	8.4	8.4	28.0	28.0	14000	14000	4200	4200			
M	M300	1																
M	M450																	
T	T580																	
T	T600																	
O	O576	12	576	6.91	70	0.449	5.388	387.3	8.0	56.0	0.0	4649	28018	32136	193643			
X	X1278	24	1270	30.40	70	0.991	23.784	689.2	190.5	225.5	6.2	4464	18150	138061	492282			
R	R26																	
R	R274																	
Итого:			37	37.682				29.7	1084.9	198.9								
Прочность, Н/мм, требуемая: Запас свыше К=8.4																		
Выход																		
B.3.1	Корпуса цилиндрической формы																	
Модуль Юнга																		
$E_{\text{ст}} = X_{\text{ст}} E_{\text{ст}}$ 23238 модуль Юнга, Н/мм ²																		
где:																		
$X_{\text{ст}} = \frac{E}{D_1 D_2}$ суммарный единичный коэффициент в окружном направлении, Н/мм																		
$t_{\text{ст}} = \frac{E}{F}$ приемлемая толщина корпуса, мм																		
Минимальную допустимую толщину ламината в зависимости от неравенства, вычисляют по формуле:																		
$\frac{L-D_1}{D_1} \leq F / 2 E_{\text{ст}}$ (B.10) $t_{\text{ст}} = \frac{E_{\text{ст}}}{F} \leq \frac{81.627}{22.230}$ (B.11)																		
Проверка неравенства:																		
$L/D_1 = 0.327 < 7.746 = 1.75 (E_{\text{ст}}/F)^{1/2}$ по (B.11)																		
Минимальная требуемая толщина ламината:																		
$t_{\text{ст}} = \frac{E}{F} < \frac{22.230}{3059}$ Ок																		
где:																		
$F = 4$ коэффициент безопасности против разрушения из-за изгиба																		
$D_1 = 3059$ внешний диаметр корпуса, мм																		
Если предложенная конструкция не соответствует этому требованию, необходимо либо изменить конструкцию ламината, либо добавить дополнительные колца жесткости.																		
Вычисления должны быть повторены, пока не будет определена допустимая конструкция																		



Рис.2 Сечение сложного ребра жесткости

Основной момент инерции сечения кольца неистости $L_{\text{ст}} \text{ mm}^4$, должен быть больше или равен минимальному моменту инерции L_{\min}

$F = 4$ коэффициент безопасности ребра усиления

Эффективная длина $L_c \text{ mm}$ 1000 - шаг расчета

Подбор конструктивных ребер жесткости обечайки

Размер или профиль	Материал	$L_{\text{ребра}}, \text{мм}$	Верт. расстояние до центра масс ребра (положение высоты сечения), мм	Диаметр нейтральной оси кольца жесткости и $D_{\text{ст}}$, мм	Мин. момент инерции ребра, $L_{\min} = F \cdot D_{\text{ст}} \cdot D_{\text{ст}}^2 / 32 + 24 \cdot E \cdot h^3 / (3 \cdot 17)$, мм^4	Проверка неравенства $L_{\text{ребра}} > L_{\min}$	Момент инерции $L_c \text{ mm}^4$	Выход	Сечение ребра	Масса 1 куба для стальных труб, $\text{кг}/\text{м}^3$	Площадь сечения ребра, см^2
1	2	3	4	5	6	7	8	9	10	11	12
200x70	СПБ	23220	35	312,0	47 564,328	>	5 716 667	Простое			140
СМ лист 2	СПБ	23220	40	300,0	41 332,401	>	6 323 357	Сложное			
Труба 50x2,5	Металл	205000	70	311,9	4 815 252	>	637 100	Простое	ГОСТ 8639-82	11	14
Труба 50x2,5	Металл	205000	35	311,9	4 815 252	>	635 700	Простое	ГОСТ 8639-82	8,71	11,00
Труба 50x2,5	Металл	205000	85	311,9	4 815 252	>	669 100	Простое	ГОСТ 8639-82	6,62	8,66
Труба 50x2,5	Металл	205000	35	312,0	4 846 206	>	720 600	Простое	сталь залитая ГОСТ 30245-200	7,97	10,15

Простое:

Размер стеклопластикового прямогоугольного ребра:

$b = 200$ ширина, мм
 $h = 70$ высота, мм
 $L_{\text{ребра}} = b \cdot h / \pi / 2 = 5 716 667$ момент инерции, мм^4

Сложное:

Сечение сложного ребра разрабатывается в CAD, его момент

инерции вычисляется по формулам сопроводж. или инструментами CAD

Чертеж сложного ребра приводится на Рис.2

Допустимая длина корпюса $L_c \text{ mm}$, которая вносит вклад в основной момент инерции сечения кольца неистости:

$$L_c = 0,75 \cdot (L_{\text{ст}} \cdot D_{\text{ст}})^{1/2} = 228 < 1000 \quad \text{Принятый шаг ребер} \quad (\text{B.14})$$

Исходные данные:

Геометрические размеры:

Внутренний диаметр D, мм	3000
Эффективный диаметр D _{eff} , мм	1000
Максимальная высота над землей H _{max} , м	0
Высота плоскости земли H ₀ , м	0
Высота рассчитываемой точки H, м	0

По какой формуле считать:

Нагрузки:

Внешнее давление p, МПа (атм)	0,2 (2,0)
Политропия воздуха γ ₀ , кг/м³	0,00001 (0,0)
Гидростат. давл. в расчет точке p ₀ , МПа (атм)	0 (0)
Вес находящиеся расстояния W _{1..n} , Н (кг)	0 (0)
Вес над нами расстояния W _{2..n} , Н (кг)	0 (0)
Будут включены в расчет прод. нагрузки?	Нет

Разрешение в аппарате: 0.006 бар (окн.)

Мин. момент от ветровых силов. M, Н·м (Н·к)	0 (0)
Снеговая нагрузка на крышу, Н (кг)	0 (0)
Вес крыши и всего, что на ней, Н (кг)	0 (0)
Вес цилиндрической стены, Н (кг)	0 (0)
Вес днища и всего, что на нем, Н (кг)	0 (0)
Общий вес, Н (кг)	0 (0)
Вес частей выше расчет. т. W _{1..n} , Н (кг)	0 (0)
Вес частей выше расчет. т. W _{2..n} , Н (кг)	0 (0)

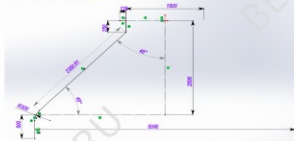


Рис. 1 Расчетная схема

B.1 Максимальная вертикальная единичная нагрузка, Н/м

$$Q_{v1} = (p - p_0) \cdot D/2 = 300,00$$

(B.1)

B.2.1 Максимальная продольная единичная нагрузка, Н/м

Веса погодных ящиков:

$$Q_{v2} = p \cdot D/4 + 4M \pi r D^2 / h / 10 = 160,00 \text{ (B.2)}$$

$$Q_{v3} = p \cdot D/4 - 4M \pi r D^2 / h / 10 = 160,00 \text{ (B.3)}$$

Несимметричность опор:

$$Q_{v4} = p \cdot D/4 + 4M \pi r D^2 / h / 10 = 160,00 \text{ (B.4)}$$

$$Q_{v5} = p \cdot D/4 - 4M \pi r D^2 / h / 10 = 160,00 \text{ (B.5)}$$

(B.4)

(B.5)

Принимаем в зависимости от местоположения рассматриваемой точки:

$$Q_{v1..5} = 160,00 \text{ растяжение}$$

$$Q_{v1..5} = 160,00 \text{ сжатие}$$

B.1 Расчет толщины стены

$$\Sigma t = min(0)$$

При расчете конструкций из слоев, без учета пустотности:

$$\Sigma t = \sum t_i = 1,00 + 1,00 + 1,00 = 3,00 \text{ м}$$

300/100=3,00/0,80=3,75

Раст.	Сжат.	Q _{1..5} (Н/м)	
		160,00	160,00
Q _{1..5} (Н/м)	160,00	160,00	160,00
Q _{1..5} (Н/м)	160,00	160,00	160,00

B.1 Расчет толщины стены

$$\Sigma t = min(0)$$

При расчете конструкций из слоев, без учета пустотности:

$$\Sigma t = \sum t_i = 1,00 + 1,00 + 1,00 = 3,00 \text{ м}$$

300/100=3,00/0,80=3,75

Код слоя	Тип армирования	Кол-во слоев n	Плотность слоя m, кг/м³	Общ. масса m, кг/м²	Толщина, мм		Прочность Н/мм, в направлении радиальном
					слой	общая	
M	СОМ (нет)	11	2,5	4,95	0,936	50,360	160,00
T	МР (нет)	7	2,5	3,93	0,841	5,887	125,00
O	Ровные, складывающиеся	0	0	0	0,495	0	0,0
X	Ровные, перекрестные	0	0	0	0,990	0	0,0
					Итого:	58,183	250,8
							125579,0
						Прочность, Н/мм, требуемая:	306,0
						Залес. сечение n=6,4	0,88
							137,19

卷之三

Х _{ЛМ} =30 м н.	133520	суммарный единичный подъем
1-3	15.2	погонная толщина корытца, м

100

Однократные вспомогательные

UDI = **0.230** = **0.483** = 1.39% E₁, 1.98% P₁₂

Минимально допустимую градацию помечать в зависимости от интенсивности. Варианты: 10-балльная

1. LiD_6ClO_4 (1.36) / LiPF₆ (0.17) / C_{80} (0.82) / C_{20} (0.05) / C_{10} (0.02)

$\Delta H_f^\circ = -136.1 \text{ kJ/mol}$

Минимизация толщины покрытия

41.379 18.2

1988-1990: The first three years of the new government were characterized by a period of political uncertainty.

Блок 4: 4200 Внешний вид машины, кузова, окраска

1999 年 45

Сообщение о продаже земельного участка в селе Некрасовское Калужской области

www.ijerpi.org

Если предложенная конструкция не соответствует этому требованию, необходимо забыть о зоне

конструкцию Гамильтона, либо добавить дополнительные кольца на плоскости.

Однако из-за отсутствия статистики по всему миру, данные соответствуют исключительно

L-19-19-2-LP²-PIE 540 350 2400

1032

四

В. **42583** Давайте нарисуем вам первый цветок

Причины размера гибов

b	100	длени
h	15	товащица
dc	28 126	км ²

1 500

Перенесем сечение на половину диаметра, тогда момент инерции кольца неизменен, так

29-126

Допустимая длина кэрпуга 15. мм., которая вносит вклад в основной момент инерции сечения контура избыточности:

$$L_1 = 0.75 \cdot (L_0 \cdot D_0) / 0.5 = 100$$

100-34

Выход

Од

Общая толщина днища:

№ марки нта	Перег	Толщина, мм				
		Внутр.слой	Внешт.слой	Нар.слой	Общий	
1	(M450+T560+M450+T560+M450)*4+(M450+T560+M450)*1	3.66		20.7	1.5	26

Р.6.2 Расчет торосферического днища кирпичи по Приложению Ж ГОСТ

Исходные данные:

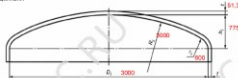


Рисунок Ж.3 - Торосферическое днище

$$\text{Несущая способность стены, } D_1 \text{ мм} = 3000 \text{ мм}$$

$$\text{Толщина кирпичного ламината днища, } t \text{ мм} = 600 \text{ мм}$$

$$t/D_1 = 600/3000 = 0.20 < 0.25 \text{ (OK)}$$

Высота торосферической части h_1 , мм:

$$h_1 = R - (R - D_1/2)^{1/2} = 775 \text{ мм}$$

где:

$$\text{Внешний радиус, } R, \text{ мм} = 3000 \text{ мм}$$

$$0.8 D_1 \leq R \leq D_1$$

$$\text{Радиус отборочки, } r, \text{ мм} = 600 \text{ мм}$$

$$0.1 D_1 \leq r \leq 0.25 D_1$$

$$r/D_1 = 600/3000 = 0.2$$

$$h_1/D_1 = 775/3000 = 0.258$$

$$t/D_1 = 600/3000 = 0.017$$

(OK!)

Ж.2.2 Торосферические днища, на которые воздействует внутреннее давление:

Единичная нагрузка:

$$Q = 0.5 \text{ ф.Д. К.} = 0.0 \text{ МПа}$$

где:

$$K_1 = 1.0 \text{ коэффициент формы для выпуклых днищ по таблице Ж.1}$$

$$\rho = 20 \text{ МПа}$$

$$c_{\text{бар}} = 0.00 \text{ МПа}$$

$$\text{Внутреннее давление на днище} = 0.0 \text{ МПа}$$

(OK!)

Таблица Ж.1 Коэффициент K_1 формы для торосферических днищПри $0.15n/D_1 \leq 0.15$: ЛЮБО

n/D_1	0	0.05	0.01	0.02	0.04	0.09
0	2.85	2.95	2.85	2.65	2.35	2.25
0.2	2.85	2.95	2.85	2.65	2.35	2.25
0.25	2.95	2.95	2.95	2.1	1.85	1.75
0.32	1.95	1.95	1.95	1.6	1.4	1.3
0.5	0.8	0.6	0.6	0.7	0.6	0.6

Выбор в табл. Ж.1:

Строка 3

Столбец 3

При $n/D_1 > 0.15$: ИСТОЧНА

Выбор в табл. Ж.1:

Строка 3

Столбец 3

n/D_1	0	0.05	0.01	0.02	0.04	0.09
0	недопустимо, $R > D_1$					
0.2	недопустимо, $R > D_1$					
0.25	1.9	1.9	1.9	1.75	1.7	1.7
0.32	1.45	1.45	1.45	1.4	1.35	1.3
0.5	0.8	0.6	0.6	0.6	0.6	0.6

недопустимо, $R > D_1$

Не проверено

Ж.2.3 Торосферические днища, на которые воздействует внешнее давление

Единичная нагрузка на днище:

$$Q = 0.5 \text{ ф.Д. К.} = 540.0 \text{ Н/м}^2$$

где:

$$\rho = 20 \text{ МПа}$$

$$\text{Внешнее давление на днище} = 540.0 \text{ Н/м}^2$$

Максимальная толщина ламината, при которой не происходит изгиба:

$$t_0 = 1.7 R_1 / (\rho R E_{\text{жестк}}^{1/2}) = 90.0 < 51.282 \text{ мм}$$

(B.15)

где:

$$E_{\text{жестк}} = 4 \text{ модуль Юнга, Н/мм}^2$$

$$E_{\text{жестк}} = 5147 \text{ Н/мм}^2$$

(B.8)

Б.1 Расчет толщины днища

По какому давлению считаем (Ж.2.2 или Ж.2.3)?

Ж.2.3 - внешнее (вызуж) давление

Пирог (только конструкционный слой, без учета штукатурки):

$$(M_{\text{шт}} + T_{\text{шт}} + M_{\text{ст}} + T_{\text{ст}} + M_{\text{ж}} + T_{\text{ж}}) \cdot 11440 \text{ Н/м}^2$$

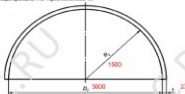
Код слоя	Тип армированья (только на изнанке, ткань и шум)	Кол-во слоев n	Армирование (стекло)			Толщина, мм		Прочность, во всех направлениях		Модуль упругости при растяжении	
			Плотность стекл. слоев m, г/м²	Общая масса M, г/м²	Содержание, %массы	слой	общая	всего, Н/мм²	изогд., Н/мм³м²	X₀, Н-м/мм³м²	X _{Лам} , Н/мм
M	M300										0
M	M450	36	450	16,74	36	0,936	32,76	441,0	26,0	14300	229500
T	T500	23	500	12,32	45	0,841	18,502	394,2	32,0	16000	197120
T	T800										0
Итого:			28,07				51,262	336,0			417620
Прочность, Н/мм, требуемая:											
Запас силье 1%: 4											
Выход:											

Общие толщины днища

№ варианта	Порог	Толщина, мм			
		Внутр. слой	Констр. слой	Нар. слой	Общий
1	(M450+T500)+(T500+T500+M450)*11+M450*2	3,00	51,23	1,5	56,73

Р.6.3 Расчет сферического днища/крышки по Приложению Ж

Исходные данные:



R - внутренний радиус; t - толщина ламината днища
Рисунок Ж.1 - Полусферическое днище

D ₁ , мм	3000	Внутридиаметр, мм
t/D ₁	0.5	
t, мм	1000	

Ж.2.2 Полусферические днища, на которые воздействует внутреннее давление

Единичная нагрузка на днище, Н/м²:

$$\sigma = 0.5 \text{ р} / D, K_1 = 0.9$$

где:

K ₁	0.9	коэффициент формы для выпуклых днищ по таблице Ж.1
r	0.5 МПа	Внутреннее давление на днище
р	0.5 бар	
р	0.5 кг/см ²	

Таблица Ж.1 Коэффициент K₁ формы для сферических днищ

Н/м ²	М/м ²	K ₁
0.5	0.5	0.6

Ж.2.3 Полусферические днища, на которые воздействует внешнее давление

Единичная нагрузка на днище, Н/м²:

$$\sigma = 0.5 \text{ р} / D, K_1 = 1.80$$

где:

r	0.5 МПа	Внешнее давление на днище
r	1.574 бар	
r	20394.40 кг/см ²	

Минимальная толщина ламината, при которой не происходит изгиба:

$$t_{min} = 1.7 \cdot R \cdot (\sigma / E_{lamin})^{0.5} = 25.2 < 26.94 \text{ мм}$$

(Ж.6)

где:

$$F = \frac{4}{E_{lamin}} \cdot K_{1,inf} \cdot L_1^2 \cdot \sigma$$

(Ж.8)

$$E_{lamin} = 8200 \text{ Н/мм}^2 \text{ модуль Юнга, Н/мм}^2$$

Б.1 Расчет толщины днища

По какому давлению считают (Ж.2.2 или Ж.2.3)?

Ж.2.3 - внешнее (вакуум) давление

Пирог (только конструкционный слой, без учета химстойкого):

$$M_{450} + T_{580} + M_{450} + T_{580} + M_{450} + T_{580} + M_{450} + T_{580} = 0$$

Код слоя	Тип примененного (только мат, ткань и пульп.)	Конструктивный слой	Ламинация (слойсто)		Толщина, мм	Прочность, во всех направлениях		Модуль упругости при растяжении X ₁ , Н/мм ²	Модуль упругости при растяжении X _{2,3} , Н/мм ²		
			Пол. слои t, мм ²	Общ. масса M, кг/м ²		Содержание ве. компл.	слои	общая	Верх. сл., Н/мм ²		
M	M300								0		
M	M450	16	450	8.1	35	0.936	16.845	220.0	28.0	14000	113400
T	T580	12	580	6.72	45	0.841	10.092	215.0	32.0	16000	107520
T	T580								0		
			Итого:		14.82		21.94	442.0			226920
Прочность, Н/мм ² , трехслой:											
Запас прочности K=8.4											
Выход											

Общая толщина днища:

№ маркировки	Перог	Толщина, мм			
		Внутр./вн. слой	Констр. слой	Наруж. слой	Общий
1	(M450+T580+M450+T580+M450+T580+M450+T580)/8	3.60	26.0	1.5	33

Исходные данные:

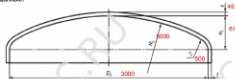


Fig 11 - Dished ends with knuckles

Внутренний диаметр, D_i , мм 3000

Толщина листа панели днища, t мм 45,0 > 45,0(6) =

Высота тороидальной части h_i , мм

$$h_i = R_i \cdot [R_i - D_i \cdot (2 - t)]^{0.5} = \boxed{613}$$

где:

$$\text{внешний радиус, } R_i, \text{ мм} \quad \boxed{3000}$$

$$0.8 \cdot D_i \leq R_i \quad \boxed{R_i}$$

$$\text{радиус отборочки, } r, \text{ мм} \quad \boxed{500}$$

$$0.1 \cdot D_i \leq r \leq 0.25 \cdot D_i \quad \boxed{r}$$

$$r/D_i = 0,167$$

$$h_i/D_i = 0,204$$

$$t/D_i = 0,015$$

Ж.2.2 Тороидальные днища, на которые воздействует внутреннее давление

Единичная нагрузка: $Q=0.5 \pm D_i \cdot K_f$

(Ж.5)

где:

$K_f = \frac{1}{\sqrt{D_i}}$	коэффициент формы для выпуклых днищ по таблице Ж.1
0.1 МПа	Внутреннее давление на днище 0
0.05 бар	

Таблица Ж.1 Коэффициент K_f формы для тороидальных днищПри $0.15n/D_i \leq 0.15$: ЛЮБО

n/D_i	0	0.05	0.1	0.2	0.4	0.6
0	2.85	2.95	2.85	2.65	2.35	2.25
0.2	2.85	2.95	2.85	2.65	2.35	2.25
0.25	2.95	2.95	2.95	2.5	1.85	1.75
0.32	1.95	1.95	1.95	1.6	1.4	1.3
0.5	0.8	0.6	0.6	0.5	0.6	0.6

Выбор в табл. Ж.1:

Строка	2
Столбец	3

При $n/D_i > 0.15$: ЛЮБАЯ

n/D_i	0	$\frac{1}{\sqrt{D_i}}$	$\frac{1}{\sqrt{n}}$	$\frac{1}{\sqrt{n+1}}$	$\frac{1}{\sqrt{n+2}}$	$\frac{1}{\sqrt{n+3}}$
0	0.065	0.01	0.02	0.04	0.06	0.08
0.2	0	0	0	0	0	0
0.25	1.9	1.9	1.9	1.75	1.7	1.7
0.32	1.45	1.45	1.45	1.4	1.35	1.3
0.5	0.8	0.6	0.5	0.6	0.6	0.6

недопустимо, $R_i > D_i$

Не проверено

Выбор в табл. Ж.1:

Строка	2
Столбец	3

Ж.2.3 Тороидальные днища, на которые воздействует внешнее давление

Единичная нагрузка на днище: $Q=0.5 \pm D_i \cdot K_f$

(Ж.8)

где:

0.2 МПа	0
1.974 бар	0
$20384,46 \text{ кПа}$	

Внешнее давление на днище 0

Минимальная толщина панели, при которой не происходит изгиба:

$$t_{min} = 1.7 \cdot R_i \cdot [r \cdot R_i E_{min}]^{0.5} = \boxed{64,1} > \boxed{45,0(6)} = t_{min}$$

(Ж.15)

где:
 $R_i = \frac{1}{\sqrt{D_i}}$ - коэффициент безопасности против разрушения из-за изгиба
 $E_{min} = X_{min} A_{min} = 5170 \text{ Нм}^2$

(Ж.8)

Б.1 Расчет толщины днища

По какому давлению считаем (Ж.2.2 или Ж.2.3)?

Ж.2.2 - внутреннее (избы) давление

Пирог (только конструкционный слой, без учета антибоя):

$$(M_{min} + T_{min} + M_{max} + T_{max}) \cdot 10^{-6} =$$

Код слоя	Тип армированья (только на изгиб)	Кол-во слоев n	Армирование (стекло)			Толщина, мм		Прочность, во всех направлениях		Модуль упругости при растяжении	
			Плотность слоя m, г/м²	Общая масса M, г/м²	Содержание, %массы	слой	общая	всего, Н/мм²	нагрд, Н/мм²мм⁻¹	X₀, Н-м/мм³м²	X _{Лам} , Н/мм
M	M300										0
M	M450	31	450	13,95	36	0,036	29,016	301,6	26,0	14300	195300
T	T500	20	500	11,2	45	0,841	16,82	358,4	32,0	16000	179200
T	T800										0
			Итого:	26,15			45,036	749,0			374500

Прочность, Н/мм, требуемая: НД

Запас сжатия №8,4 НД

Выход: НД

Общие толщины днища

№ варианта	Порог	Толщина, мм			
		Внутр. слой	Констр. слой	Нар. слой	Общий
1	(M450+T500)+(M450+T500+M450)*10+M450	3,00	45,0	1,5	50

Исходные данные:

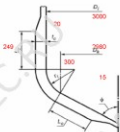


Рисунок Ж.4 - Коническое днище с изгибом

D	3000	внутр. диам. стены, мм
t	15	толщина панели стены, мм
t ₂	20	толщина в месте пересечения конич. и цилинд. частей
r	300	внеш. окружность, мм
угол ф	15	угол наклона конической части к оси каторной выкатки

Сос. ф	0,9659258	...
D ₂	2980	внутренний диаметр большого основания конического днища
r/D ₁	0,1	отношение радиуса скрутки к диаметру емкости

Расстояние от места пересечения конич. и цилинд. частей, на котором должна быть увеличена толщина, мм:

$$L_1 = D_1 \cdot \text{Коэф} = 249$$

(Ж.2)

Ж.3.3 Конические днища, на которые воздействует внутреннее давлениеЕдиничная нагрузка Q, Н/мм:
Q=0,5 p D₁cosφ = 77,1

(Ж.9)

где:

P	0,05 МПа
	0,402 кбар
	5098,50 кг/м ²

Внешнее давление на днище 0,25

Прод. из нап. в месте пересечения конической и цилинд. частей днища с изгибом конического днища Q₁₁, Н/мм:

$$Q_{11} = 0,5 p D_1 K_{11} = 75,0$$

(Ж.10)

где:

K₁₁ - [коэффициент формы для конич.днищ по таблице Ж.2]Таблица Ж.2 Коэффициент K₁₁ формы для конических днищ по рис.Ж.4

r/D ₁	Угол φ				
	15	30	45	60	
0,06	1	1	1,0	2	3,85
0,08	1	1	1,21	1,75	3,5
0,1	1	1	1,3	1,8	3,15
0,15	1	1	1	1,6	2,7
0,2	1	1	1	1,25	2,4
0,3	1	1	1	1	1,55
0,4	1	1	1	1	1
0,5	1	1	1	1	1

r/D ₁	Угол φ	
	15	30
0,1	1	1
0,15	1	1
0,2	1	1

Проверка1	1	1	1
Проверка2	1	1	1

Б.1 Расчет толщины днища

Днище тонкостенное конструкционный слой, без учета запасов:

$$[P_{11} + T_{11} + H_{11} + M_{11}]^2 + 24M_{11} \cdot [T_{11} + H_{11}]^2 / D^2$$

Код сплош	Тип армирован	Кол-во сплошн п	Армирование (стекло)			Толщина, мм	Прочность, во всех направлениях		Модуль упругости при растяж.
			Плотность сплошн, г/м ²	Общ. масса М, кг/м ²	Содержание наим. %масс		сплошн	общая	
M	M300	6	450	2,7	25	8,935	5,615	75,6	28,0 37800
M	M450	6	450	2,7	25	8,935	5,615	75,6	28,0 37800
T	T580	4	560	2,24	42	8,841	3,364	71,7	32,0 14000 35840
T	T800	4	560	2,24	42	8,841	3,364	71,7	32,0 14000 35840

Итого: 4,94 8,98 147,0
Прочность, Н/мм, требуется: 77
Запас сильн. К=0,4 1,91

Выход

Ок

Общая толщина днища:

№ варианта	Нарог	Толщина, мм			
		Внутр. слой	Конгр. слой	Нар. слой	Общий
1	(M450+T560+M450+T560+M450)/2+(M450-T560+M450)*0	3,60	0	1,5	15

第16章 软件设计与实现

Рисунок 26.9 – Контрольная группа без мониторинга

Актеры-дебютанты съемок в этом фильме: Екатерина Гусева, Елена Севрюкова, Евгений Кравцов.

Is	21	расч толщ в месте пересечения конеч. и цил. частей
to /Df	0,007	
угол ф	31,63	угол наклона конического днища к оси напорной винности
угол ф	0,007004430	

Расстояние от места пересечения кромкиской и цилиндрической частей, на котором должна быть увеличена толщина, mm

Ж.3.3 Кончиками пинцета, из которых вынимают внутренние двери

Единичная нагрузка, Н/мм

$$Q=0.5 \cdot g \cdot D_1 \cdot \cos\phi =$$

730

P 0,05 МПа
0,295 бар
3059,16 дюйм³

Внушительное значение. МПа

Продольная единичная нагрузка в месте пересечения конической и цилиндрической частей днища без изгиба конического днища O_1 . Норма

$$Q_{\text{c},1} = 0.5 \text{ g} \cdot D_1 \cdot K_{\text{c},1} = 157 \text{ W}$$

四〇二

K-35046100-2023年1月1日から2023年3月31日までの期間

Таблица Ж.3 Коеффициент K_{α} . Формы для вставки исходных данных по рис. Ж.5

	Worst			
errDk	15	30	45	60
0.002	2.94	5.12	5.9	13.6
0.005	2.05	3.7	5.8	8.7
0.01	1.6	2.7	4.12	6.3
0.02	1.24	2.1	3	4.4
0.04	1	1.55	2.2	3.2
0.06	1	1.45	2	2.75

5.1 РАСЧЕТ ТЕХНИЧЕСКОЙ МОДЕЛИ

Песок (или зернистый щебень), без зерна кинетического

$$(\mu_{\text{max}} + T_{\text{max}} + R_{\text{max}})^{\frac{1}{2}} + (\mu_{\text{min}} + T_{\text{min}} + R_{\text{min}})^{\frac{1}{2}}$$

Интервалы		
	Частота	
[-10; -5)	50	45
(-5; 0]	3.7	5.1
(0; 5]	2.75	4.1
5.104416	3.32	5.12
5.104416	3.9142	
	2.8874	

Процессор: Intel Core i5-5040U | 3.32 | 5.12

Проект № 2 | Уроки | Учебник

Общая толщина днища:

№ поясни тия	Барог	Толщина, мм			
		Внешн. стор	Констр. стор	Нар.стор стор	Общий
1	(M450-T500+M450+T500+M450)/4+(M450-T500+M450)/1	3.86	20.7	1.5	26

Наименование элемента конструкции: Крышка люка-паза

Плоские панели, проверяющие в соответствии с настоящим стандартом, должны быть армированы только СМ.
УРД: добавлена возможность армировать WR.

Условия в данном разделе основываются на рассмотрении как максимальной допустимой единичной нагрузки поверхности ламината, растяжения или сжатия, так и преобладающего предельного отклонения толщины панели. Толщина панели должна быть заложена или быть больше, чем требуемая минимальная толщина панели.

E.5.1 Воздействие равномерно распределенной нагрузки на круглые панели

Момент, вызванный равномерно распределенной нагрузкой, Н·м:

$$M_1 = 5 \cdot D^2 \cdot f_1 = 0$$

(E.8)

где:

Краевые условия:	T = 0	- заделанный край
B:	0.03125	константа зависящая от краевых условий
D:	780	диаметр панели, мм
f ₁ :	0 МПа, Н/мм - расчетное единичное давление	0

и

0.001 атм¹ (напряжение сопротивления долговечности, вакуума, антигравитационной)

E.5.2 Воздействие центральной местной нагрузки на круглые панели

Момент, вызванный местной нагрузкой, должен быть равен наибольшему значению, определяемому по формулам (E.9) и (E.10) для краевых условий Типа 1:

$$M_2 = 0.325 W \cdot (D_1/2)^2 / f_2 = 30$$

$$M_2 = W / 4 \pi = 16$$

(E.9)

(E.10)

$$M_2 = \max(M_1, M_2) = 30$$

Момент, вызванный местной нагрузкой, для краевых условий Типа 2:

$$M_2 = W / 4 \pi + (1.3 \cdot h \cdot D_1 / 2r_1) + t_2 = 44$$

(E.11)

где:

$$W = 200 \text{ воздействующая местная нагрузка, Н, или } 20 \text{ кг}$$

$$r = 100 \text{ радиус локальной нагрузки, мм}$$

Расчетный момент

Расчетный момент - момент, возникающий в панели в результате наихудшей комбинации распределенных нагрузок, например давление, вакуум, гидростатический напор, ветровые и снеговые нагрузки, плюс момент, вызванный любой местной нагрузкой

Расчетный момент $M_{\text{р}} \text{ Н·м}:$

$$M_{\text{р}} = \sum M_i = 30$$

(E.1)

где:

$M_{\text{макс}}$	0	момент, вызванный воздействием вакуума, Н·мм
$M_{\text{огн}}$	0	-И- огневой нагрузки, Н·мм
$M_{\text{вет}}$	0	-И- ветровой нагрузки, Н·мм
$M_{\text{рд}}$	0	-И- равномерно распределенной нагрузкой, Н·мм
$M_{\text{лок}}$	30	-И- местной нагрузки, Н·мм

Необходимо проводить проверку прочности, чтобы убедиться, что толщина конического ламината толока, что деформации панели не превышают толщину панели.

E.5.3 Масса на единицу площади при заданном наполнителе

Проверка общей массы на единицу площади ламината (СМ и WR):

$$\frac{m_{\text{общ}}}{m_{\text{общ}}^{\text{СМ}}} \cdot U_{\text{СМ}} + \frac{m_{\text{общ}}}{m_{\text{общ}}^{\text{WR}}} \cdot U_{\text{WR}} = \frac{14234}{14234} > 162 = 6 \cdot M_2$$

(E.12)

где:

СМ	WR
28.0	32.0
2.34	1.41

расчетная единичная нагрузка, Н/м²/мм², кг=8.4толщ ламината, мм/мм² (см рис. 5.6)

m _{общ}	30	45
d	1.2	1.7

массовое содержание аризонастита, %

относительная плотность окаты

(E.2)

Важнее использовать только мат, ткань даёт меньшую прочность на изгиб.

Требуемая минимальная толщина панели из условия деформации:

$$t_{\text{мин}} = \left(\alpha \cdot p_1 \cdot D_1 \cdot E_{\text{lam}} + \beta_2 \cdot W \cdot D_1 \cdot E_{\text{мат}} \right)^{1/2} = 5.3 < 47.41 \cdot t_{\text{р}}$$

(E.13)

где:

$$\alpha = 0.01068 \quad \beta_2 = 0.06431 \text{ константы, зависящие от краевых условий.}$$

(E.13)

$$E_{\text{мат}}/K_{\text{мат}}/t_{\text{мат}} = 8200 \text{ модуль Юнга, Н/мм}^2$$

(E.13)

Б.1 Расчет толщины панели

При этом конструционный слой, без учета химоткого:

$$(M_{\text{р}} + T_{\text{р}} + M_{\text{огн}} + M_{\text{вет}} + M_{\text{рд}})^{1/2}$$

Код слоя	Тип армированья и толщина мат. ткани	Кол-во слоев n	Армирование (стекло)			Толщина, мм		Прочность, во всех направлениях		Модуль упругости при растяжении	
			Плотность слоя t, г/м ²	Общ. веса M, г/м ²	Содержа- ние,% мат.	слой	общий	вдоль, Н/мм ²	на 90°, Н/мм ²	X ₁₁ , Н/м ² мм ²	X ₂₂ , Н/м ² мм ²
M	M4305	27	450	12.15	26	0.826	25.272	340.2	26.2	14900	175100
M	M4505	27	450	12.15	26	0.826	25.272	340.2	26.2	14900	175100
T	T5100	18	360	10.08	45	0.641	15.138	322.6	32.1	18000	181200
T	T800	18	360	10.08	45	0.641	15.138	322.6	32.1	18000	181200
В т.ч.			Итого	22.23			46.41	653.0			331380
			M	12.15							
			T	10.08							

Общая толщина днища:

№ варианта	Пирог	Толщина, мм			
		Подр. слой	Констр. слой	Нар. слой	Общий
1	M4505+T50+M450+T50+M450/T9	3.69	46.4	1.5	46

Информация о продаже и доставке товаров | Справка о доставке

Платиновые панели, покрывающие в соответствии с настоящим стандартом, должны быть проверены только СЭМ.
ЛРО. Добавлено возможность включения VR.

Тренировки в динамике предполагают настройки как на максимальное извлечение единичной нагрузки (позвоночника), так и на минимизацию ее склонности к преобразованию в проблему (стимулами являются тяжелые пакеты). Тяжесть пакетов должна быть равна или быть больше, чем требуемая минимальная тяжесть пакета.

E.4.1 Offshore requirements

Должно быть выдано один из четырех возможных условий. Константы должны соответствовать табл. 1.

Вариант А Крайевые условия первого со знаком четырех степеней. Например, приложена с креплением в балках, когда область контакта широкой и выходит за границы стержней под болты или соединение панелей с симметричным креплением на ребрах жесткости или уголках.

Вариант 8 Краевые условия 1-го типа с двумя короткими сторонами и с одной длинной стороны, с граничными условиями 2-го типа с краевыми условиями 3-го типа с другой длинной стороны. Например, симметричный канал формирует вторую ступень Бессельовской функции с одинаковыми ярами, а квадрат — четвертую ступень Бессельовской функции с одинаковыми ярами.

Задание С Альбом для зарисовок В - занятия с краевыми условиями 1-го типа с двух линийных краев и одного короткого края и

Причины и механизмы эпидемий африканской чумы свиней.

第20章

Вариант	Границы условия	Коэффициент	Приложение 1.9							
			Номера строк							
			1	2	3	4	5	6	7	8
A		β_1	0,061	0,067	0,075	0,083	0,083	0,083	0,083	0,083
		α_1	0,014	0,02	0,024	0,026	0,026	0,026	0,026	0,026
B		β_1	0,06	0,077	0,094	0,107	0,114	0,121	0,124	0,124
		α_1	0,017	0,026	0,037	0,044	0,049	0,056	0,067	0,068
C		β_1	0,06	0,075	0,078	0,082	0,083	0,083	0,083	0,083
		α_1	0,017	0,022	0,025	0,027	0,028	0,028	0,028	0,028
D		β_1	0,048	0,067	0,081	0,093	0,102	0,115	0,118	0,125
		α_1	0,044	0,05	0,054	0,059	0,061	0,066	0,074	0,082

6.4.2 Воздействие равномерно распределенной нагрузки на торцы круглых с пакетом

Момент, вызванный равномерно распределенной нагрузкой M_0 , наименее

M = $\frac{1}{2} \pi R^2 h = \frac{1}{2} \pi (10)^2 (10) = 500\pi$

100

0.0000-1	Мат. №№	установка внутренней или внешней давления, равномерно распределенная нагрузка, такая как снеговая или ветровая нагрузка, или такая комбинация этих нагрузок, которая дает наибольший термод. диапазон на пакете с учетом влияния температуры, опасных или неблагоприятных условий работы	0.0000
	0 атм.		
	1 Н/кв. ²		
	1 кг/см ²		

Момент, вызванный статическим нагрузком на днище, убывающий от максимального давления в основании панели до нуля в

• 100% Natural • 100% Organic • 100% Sustainable

1100	лотность жидкости, кг/м ³
0	длина стебля жидкости, мега
0	давление в основании панели,
0,05537	т.е. давление,
0,0725	воздействующее на панель
770,25	

8.4.3 Виды и типы личной и частной информации на правах публичных лиц

Digitized by srujanika@gmail.com

Причем, соответствующие варианту В, могут рассматриваться как первые, соответствующие варианту С, — как вторые, соответствующие варианту А, — как третьи для имеющихся критериях.

Минимум выставленный на экране, должен быть сопоставлен с минимальным, отображаемым по формулам (2.4) и (2.5).

$$M = \max(M) = \boxed{87} \quad M = W/(1-\gamma) - [1.3 \ln(2 \cdot b)] \cdot \beta + \theta_0 = \boxed{87} \quad (E.4)$$

124

W	500 (5%)	воздействующие местные нагрузки, Н/кг	0.0785	коэффициент
G	100	одинаковая линейная нагрузка, Н/м	0.087	коэффициент
A	—	для местных нагрузок, см. применение со знаком "+"	0.1685	коэффициент усиления

Таблица Е.2 - Деформации и константы изгибющего момента для центральных местных нагрузок и приложенных плюсовых панелей

№ столбца / Отношение длины/ширина=1,9

Вариант	установка	Коэффициент	1	2	3	4	5	6	7	8	9
			1	1,25	1,5	1,75	2	2,5	3	4	5
A		R_1	0,081	0,072	0,0708	0,0705	0,0700	0,079	0,0791	0,0791	0,0791
		R_2	-0,238	-0,062	0,036	0,067	0,067	0,067	0,067	0,067	0,067
B		R_1	0,1257	0,153	0,1632	0,1665	0,1674	0,1677	0,1679	0,168	0,168
		R_2	0,435	0,691	0,808	0,917	0,958	0,976	0,975	0,97	0,97
Крепление в соответствии с письмом 2, свободно линейчат											
Крепление в соответствии с письмом 1, заделанный край											

Расчетный момент

Расчетный момент - момент, возникающий в панели в результате наимудрей комбинации распределенных нагрузок, например давления, вакуума, подостаточного изгиба, ветровые и снеговые нагрузки, плоским моментом, вызванным любой местной нагрузкой.

Расчетный момент $M_{\text{р}} \text{, Нм}$:

$$M_{\text{р}} = M_{\text{р,1}} + M_{\text{р,2}}$$

(E.1)

где:

$M_{\text{р,1}}$	расчетный момент, вызванный воздействием вакуума, Нм
$M_{\text{р,2}}$	0 - снеговая нагрузка, Нм
$M_{\text{р,3}}$	0 - ветровая нагрузка, Нм
$M_{\text{р,4}}$	0 - равномерно распределенный нагрузка, Нм
$M_{\text{р,5}}$	250 - статическим нагрузкам недостат., Нм
$M_{\text{р,6}}$	0,7 - местной нагрузки, Нм

Необходимо проводить проверочный анализ панели, чтобы убедиться, что толщина единичного элемента также, что деформации для нее не превышают толщину панели.

E.4.1 Максимальная толщина единичного элемента

Проверка общих норм на единицу площади панели: $C_{\text{SM}} \cdot W_{\text{R}}$

$$m_{\text{р,1}}^2 U_{\text{р,1}} m_{\text{р,2}}^2 U_{\text{р,2}} = 3300 \quad < \quad 2070 \rightarrow \text{OK} \quad M_{\text{р}}$$

(E.6)

где:

C_{SM}	28,0	37,0	расчетная единичная нагрузка, Н·м/км² от Кп9,4
$U_{\text{р,1}}$	2,34	1,41	габаритные размеры панели, мм/м² (см рис. 5.5)
$U_{\text{р,2}}$	3,0	4,0	массовое содержание арм. наполнителя, %
$m_{\text{р}}$	1,2	1,3	относительная плотность смеси

Допускается использовать только нет, т.к. это дает излишнюю прочность на изгиб

Требуемая минимальная толщина панели из условия деформации:

$$t_{\text{мин}} = \left(\alpha_1 \beta_1 \delta_1' E_{\text{см,1}} \right)^{1/2} = 7,8 \quad < \quad 14,976 \quad \text{мм}$$

где:

$$E_{\text{см,1}} K_{\text{см,1}} \delta_1' \beta_1 = 6731 \quad \text{модуль Юнга, Н/мм}^2$$

(E.7)

Б.1 Расчет толщины панели

Перег. головы покрытий/стекл. оболочки, без учета хим. связей:

$$\Delta M_{\text{р}} = T_{\text{р,1}} \cdot H_{\text{р,1}} + T_{\text{р,2}} \cdot H_{\text{р,2}} = 7,8$$

(E.8)

Код слоя	Тип армирования (покрытие, золь и вулк.)	Кол-во слоев n	Армировано (стекл. и)		Толщина, мм	Область	Прочность, во всех направлениях		Модуль упругости при растяжении		
			Пластикос- таль, слои n, тг	стекл. волокна, слои n, тг			всего, Н/мм	на единицу Н-м/мм²-кг			
M	M300	24	300	7,2	36	0,024	14,976	201,8	28,0	140000	106800
M	M450	0	450	0	36	0,036	0	0,0	28,0	140000	0
T	T560	0	560	0	46	0,041	0	0,0	32,0	150,0	0
T	T800	0	800	0	46	0,041	0	0,0	32,0	150,0	0
			Итого:		7,2		14,976	360,6			106800
			В т.ч.		7,2						
					7						

Сводка толщинки деталей:

№ варианта	Порог	Толщина, мм			
		Внутр. слой	Констр. слой	Наруж. слой	Общий
1	1М450+1М60+1М450+1М450+1М200+24	5,69	12	1,0	20

Навчально-методичні засоби вивчення французької мови

Платиновые панели, покрывающие в соответствии с настоящим стандартом, должны быть проверены только СЭМ.
ЛРО. Добавлено возможность включения VR.

Упомянутые в данном разделе основные типы разношерстия как неизменяющиеся допустимые анатомические нарушения позвоночника: изогнутость, растяжения или сжатия, так и преобладающего призывающего стягивания толщины панкоста. Толщина панкоста должна быть равна 1 или быть больше, чем требуется минимальная толщина панкоста.

Б.Б. Плактины в форме частей ячменя и тритичной пшеницы

Момент, вызванный движением, воспринимается настолько же, как и

$M_{\odot} \approx 5 \mu_{\odot} r_{\odot}$ = $\mu_{\odot} r_{\odot}$



Унік. ряд (транс.) 0.7853952

Test 3

Параметр	Границочные условия	Коэффициенты	Изгиб			
			1	2	3	4
Тип 1	Крепление по одной стороне	а	0,7853487... -0,1	0,7853487... 0,1	1,5706974... -1,5706974...	3,943691... -3,943691...
		б	0,0054 -0,0054	0,0054 0,0054	0,0144 -0,0144	0,0369 -0,0369
Тип 2	Крепление со всех сторон	а	0,0054 -0,0054	-0,01 0,01	0,0344 -0,0344	0,0860 -0,0860
		б	0,0189 -0,0189	0,0245 -0,0245	0,0345 -0,0345	0,0860 -0,0860

0.0054 0.0054

◎ 本刊编辑部

[Macchina da scrivere elettronica operata con la mano](#)

Проверка общей массы не единицы площади гончарата (СМ и WR).

$$m_{\pi}^2 = U_{\pi} - \log(\pi) + m_0 = 12461 \quad \Rightarrow \quad 0 = 6448,$$

138

	СМ	WR
U	28,0	32,0
I ₁	2,34	1,41
P ₁	30	40
R ₁	1,2	1,2

расчетная единица, Н·м/мм², с K=8,0
напряжение, мН/м² (заряд, В)
массовое содержание алюминия, %
стекловолокно, волокна

© Гарднер Родни, 2010. Перевод с английского: Татьяна Смирнова. Издательство: Издательство «ИнфоЛайн»

Требуются минимальные толщины панелей из-за опасности деформации

Estimated De-polarization: 0.0 28.704

「四」

$E_{\text{loss}}/E_{\text{initial}} \approx 0.731$

6.1 Parent to Parent Support

Планка (ПОЛКА) с ящиками деревянный склад, без ящиков, деревянный

Код слоя	Тип армирования (ткань и нити, ткань и волокна)	Кап-коэф. смеси к.	Армирование (стекло)		Толщина, мм	Прочность во всех направлениях		Модуль упругости прямого изгиба, Н/мм²	$E_{\text{прям}} \cdot H_{\text{прям}}$, Н/мм²		
			Плотность, кг/м³, т/м³	Объем масса М, кг/м³		Состав смеси, Заказчик	слой	общий	вдоль, Н/мм²	попер., Н/мм²	
M	M200	45	300	13,8	35	0,624	28,794	386,6	28,5	14500	183200
M	M50	450	0	0	35	0,936	0	0,0	0,0	14500	0
T	T500	0	560	0	45	0,841	0	0,0	0,0	15000	0
T	T800										0
В т. ч.:			Миним:		13,8		28,794	386,6			183200
			M:		13,8						
			T:		0						

CONFIDENTIAL

№ зображення	Півтор	Товарища, мк	
Черно-білий	Констру	Нарис	Обмеж
справа	справа	справа	
1	1	2	3

Наименование элемента: АВ

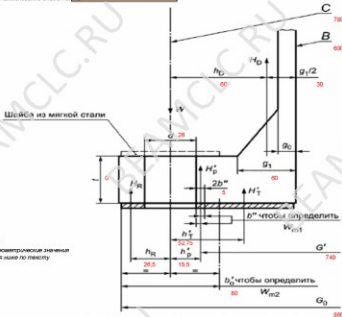


Рисунок П.2 - Полнопрофильный фланец с мягкой уплотняющей прокладкой

П.4 Болтовые нагрузки и площадки

П.4.1 Рабочие условия

Минимальная болтовая нагрузка для рабочих условий V_{t1}, N :

$$W_{t1} = H \cdot H_p \cdot H_T = 0 + H_p 0 + H_T 0 = 0 \quad (П.1)$$

$$\text{т.к.} \quad a) \text{Общая торцовая гидростатическая сила (при затяжке фланца), } N: \\ N = \pi d^2 / 4 \cdot (C \cdot d - p_a) = 0 \quad (П.2)$$

где:

C	диаметр окружности центров отверстий под болты, мм	При геометрии: <input checked="" type="checkbox"/>
B	внутренний диаметр фланца, мм	
G	внешний диаметр уплотняющей прокладки или внешний диаметр фланца, в зависимости от того, что меньше, мм	
g	толщина воротка фланца с задней стороны фланца, мм	
p_a (Па, кПа)	давление отверстий под болты, мм	
NPa, Нмкг	расчетное давление (излишнее соединение давления, вакуума, снеговой, ветровой нагрузки и т.д.)	<input checked="" type="checkbox"/>

б) Сжимающая нагрузка на уплотняющую прокладку, обеспечивающая плотное соединение, N :

$$N = 2b^2 \cdot \pi \cdot G \cdot m = 0 \quad (П.3)$$

где:

2b	эффективная контактная ширина уплотняющей прокладки под давлением, мм
$G = C \cdot d + 2b =$	диаметр в месте реакции уплотняющей прокладки на сжимающую нагрузку, мм
m	коэффициент уплотняющей прокладки.

в) Уравновешивающая противодействующая сила, воздействующая силой окружности центров отверстий под болты, N :

$$N = [H_D \cdot h_0 + H_p \cdot h_1 + H_T \cdot h_2] \cdot b \cdot m = 0 + 0 + 0 + 0 = 0 \quad (П.5)$$

где:

$$H_1 = \pi d^2 B^2 / 4 \quad (0) \quad \text{торцовая гидростатическая сила, воздействующая на внутреннюю поверхность фланца, т.е. сила, передающаяся через сжатие на фланец, Н}$$

$$h_2 = R + 0.5 \cdot g \cdot h \quad (0) \quad \text{расстояние по радиусу от окружности центров отверстий под болты до окружности, на которую воздействует торцовая гидростатическая сила, включая стяжку на внутреннюю поверхность фланца, мм;}$$

$$R = (C + B)/2 \cdot B \cdot \sqrt{B} \quad (0) \quad \text{радиус, мм}$$

$$H_2 = H_1 \cdot H_1 \cdot H_1 \quad (0) \quad \text{торцовая гидростатическая сила, вызванная давл. на опорную часть фланца}$$

$$h_3 = (C + d + 2h') - B/4 \cdot h \quad (0) \quad \text{расстояние по радиусу от окружности центров отверстий под болты до окружности, на которую воздействует торцовая гидростатическая сила, вызванная давлением на опорную поверхность фланца, мм}$$

$$H_3 = \pi (d + 2h')^2 \cdot B/4 \cdot h \quad (0) \quad \text{расстояние по радиусу от окружности центров отверстий под болты до окружности, на которое воздействует сжимающая нагрузка на уплотнительную прокладку, мм}$$

$$h_4 = |G_1| (C + h')^2 + d^2 / 4 \cdot h \quad (0) \quad \text{расстояние по радиусу от окружности центров отверстий под болты до окружности, на которое воздействует упаковывающая прокладка сжимающая сила, воздействующая силы от окружности центров отверстий под болты, мм}$$

2.4.2 Условия замены болтов

Минимальная болтовая нагрузка на пластинах при прокладке, Н:

$$W_{\min} = C \cdot \gamma \cdot b \cdot t^{0.5} = 12273 \quad (0)$$

т.е.

нет относительная ширина пластина уплотнительной прокладки для выполнения минимальных сдвиговых нагрузок при пластинах, используя коэффициент у

1.4 коэффициент для мягкой резины без асбеста, Н/mm²

0.9 ширина пластина уплотнительной прокладки при начальной затяжке заменяется

равно распределенной относительно окружности центров отверстий под болты), мм.

Минимальная площадь болта A_{\min} должна определяться для W_{\min} , или W_{\min} используют минимальные болтовые напряжения, при температуре, соответствующей общим условиям, т.е. A_{\min} равно A_{\min} , или A_{\min} , в зависимости от того, сколько из значений больше.

20 Температура расчетная, °С
 20 Температура окружающей среды, °С

$A_{\min} = W_{\min} / G_1 = 0$ Минимальная площадь болтов для рабочих условий, мм²

$A_{\min} = W_{\min} / G_2 = 1320$ Минимальная площадь болтов для пластина уплотнительной прокладки, мм²

$A_{\min} = \max(A_{\min}, A_{\min}) = 1320$ Минимальная площадь болтов, мм²

т.е.
 Материал болта:
 сталь S 235
 S 355
 Номинальное рабочее напряжение болта при температуре окружающей среды (табл.П.1).
 то же, при расчетной температуре (табл. П.1).

Таблица П.1 - Рекомендованные расчетные значения напряжений для материалов болтов, Н/мм²:

№ п/р	Материал и класс прочности болта	Диаметр, мм	Рекомендованное расчетное напряжение для расчетной температуры (°С), не превышающей, Н/мм ²					Данные из ГОСТ 35507-2012	Данные из ГОСТ 52627-2006, Пояснение А. Все значения отличаются на 10%
			20	60	100	200	300		
1	Vrmst	12.9	93	93	89	85	81	81	81
2	15% хр-во, ст	12.9	193	193	181	167	154	154	154
3	5.8	150	147.5	135	118	97.5	77.5	77.5	77.5
4	8.8	320	307.5	260	270	240	240	240	240
5	10.9	470	453.75	437.5	385	352.5	352.5	352.5	352.5
6	12.9	590	530	510	462.5	412.5	412.5	412.5	412.5

Подбор количества и размера болтов:

24 Диаметр болта, мм
 40 Количество болтов, шт
 363 Действительная площадь болта, мм²

Номер строки таблицы:
 Материал (сталь): 1
 толщина сплошной: 1
 толщина сплошной: 1

Данные из ГОСТ 35507-2012
 Данные из ГОСТ 52627-2006, Пояснение А. Все значения отличаются на 10%
 Пояснение А. Все значения отличаются на 10%

Проверка геометрии:

Действительная площадь всех болтов, мм²:

$$A_1 \cdot F_1 = 14120 > 1320 \cdot A_0$$

2.5 Расчет фланца

Тип фланца: полный кривошипный

Если используется металлический свободный сплошной фланец различной конструкции, то должно быть сделано
 допущение для эффекта потери непрерывности во фланце. Толщина фланца должна быть не менее 1.4 толщины,

Вычисленной для идентичного опорного фланца цельной конструкции.

Требуемая минимальная толщина фланца, мм:

$$t_{min} \cdot K_2 = 0.5 M / S_{max} \text{ (т.ч. } d \text{)}^{(1.1)}$$

где:

$$M_{max} = U_{max} \cdot t_{min}$$

$$S_{max} = U_{max} \cdot t_{min}$$

$$U_{max} = 20 \text{ Разрешенная единичная нагрузка для стом ССМ, Н/мм в т.ч. с коэффициентом Кнд.4}$$

где:

$$t_{min} = 1.15 \cdot t_{max} \text{ толщина ламели, мм } \text{ (Б.5)}$$

где:

$$t_{max} = 30 \text{ максимальное содержание амортизирующего наполнителя, \%}$$

$$\rho_{max} = 1.1 \text{ относительная плотность смолы}$$

(Б.18)

(Б.19)

(Б.20)

(Б.2)

5.1 Расчет толщины фланца

Код слоя	Тип арматуры	Кол-во слоев	Плотность слоя, г/м ³	Общая масса М, кг	Толщина t _{max} , мм	X ₁	X ₂ , Н/мм ²
M	ССМ (сталь)	99	0.45	29.7	1.1	72.6	14000 415800
T	УФЛ (сталь)	0	0.90	0	0.71	0	16000 0

Итого:

29.7

72.6

415800

Не рекомендуется!!!

5.6 Болтовое соединение

Требуемый шаг болтов S_{min}, мм:

$$S_{min} = 2 \cdot d_t + \phi / 4 + 0.5 \cdot (E_{max} / 200000)^{1/2}$$

где:

$$E_{max} / X_{1,0} \cdot A_{sh} = 5727 \text{ модуль Юнга, Н/мм}^2$$

Тогда при количестве болтов во фланце:

10

< 40 м

Ok

(Б.21)

(Б.2)

Проверка давления под шайбами:

Шайба: Угол Стандартная или увеличенная?

Исполнение:

A

С-образное, А-точное

d_t

72

наружный диаметр, мм

d_{int}

20

внутренний диаметр, мм

A_{sh}

3581

Площадь шайбы, мм²

12 столбец, откуда брать

1 на сколько столбцов смещать назад

$$F_{max} = U_{max} \cdot A_{sh} = 100258 \text{ максимальное воспринимаемое стеклопластиком усилие под одной шайбой, Н}$$

$$F_{max} = \min(W_{sh}, W_{bol}) = 3098 \text{ то же, минимально от нагрузки, Н}$$

Напряжение под шайбами, Н/мм²:

$$\sigma_{sh} = 20.0 \text{ максимальное}$$

$$\sigma_{sh} = 0.9 \text{ минимальное}$$

$$< 14.0 \cdot U_{max}/2$$

Ok

Момент затяжки, Н·м:

$$M_{max} = F_{max} \cdot (d_t / 2\pi + 0.583 \cdot d_{max} \cdot \ln(d_{max} / d_t) / 4 - 3.14 \cdot d_t / 4)$$

463 и максимальный

$$M_{min} = F_{max} \cdot (d_t / 2\pi + 0.583 \cdot d_{max} \cdot \ln(d_{max} / d_t) / 4 - 3.14 \cdot d_t / 4)$$

14 минимальный

где:

Резьба болта:

Угол

Мелкая или крупная? (ГОСТ Р 52627-2006)

%

Шаг резьбы, мм

d_{螺纹}

21.300

шаг длины от резьбы, мм

d_{螺距}

36

размер под ключ, мм

μ

0.15

коэффициент трения в опорной поверхности болта

4 столбец, откуда брать

Написаність алфавіта	A1	A1	B1	C1	D1	F1	D2	F2	D3
DN	600	500	400	300	300	100	80	50	600

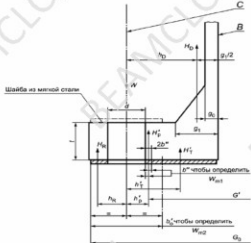


Рисунок 5.2 · Помимо обычных функций с явной типизацией предложены

Приложение

4. Данные объекты в окончной форме должны быть отображены на мониторе?

DN	600	400	300	200	100	60	50	600
----	-----	-----	-----	-----	-----	----	----	-----

Б.4.1 Рабочие условия

$H = \pi/4 (C-d)^2 \cdot p$	0	0	0	0	0	0	0	0	Н	а) Общая торцевая гидростатическая сила (при заполнении фланца) [Л.2]
$2l^2$	5	5	5	5	5	5	5	5	Н нет	а) интенсивная контактная нагрузка уплотнений прикладки под дренажем
$G = C \cdot (d-2b^*) \cdot p$	765	661	563	463	361	265	237	203	753	а) давление в месте разрыва уплотняющей прокладки на оканчивающую изогнутую [Л.4] коэффициент уплотнющей прокладки.
$H_1 = 2b^* \cdot (1-G) \cdot (1-p)$	0	0	0	0	0	0	0	0	0	б) Симметричная нагрузка на уплотнительную прокладку, обусловленная плавким соединением [Л.3]
$H_2 = H_1 \cdot h_1 + H_1 \cdot h_2 + H_1 \cdot h_3 / 3 \cdot h_1 \cdot h_2 \cdot h_3$	0	0	0	0	0	0	0	0	0	в) Гравитационно-изгибающая противодействующая сила, под действием которой снаружи окружности центров отверстий под болты [Л.5]
$W_{\text{сп}} = H_1 \cdot h_1^2 \cdot 4H_1 \cdot h_2$	0	0	0	0	0	0	0	0	0	г) Оценка болтовой нагрузки для рабочих условий [Л.3]
Y	1,4	1,4	1,4	1,4	1,4	1,4	1,4	1,4	1,4	д) коэффициент для мягкой резины без асбеста [Л.10]

Б.4.2 Условия затяжки болта

$W_{\text{сп}} = k \cdot \pi \cdot C \cdot Y \cdot (b_1 \cdot h_1^2)^{1/2}$	122738	107002	91266	75531	59795	44069	40918	36192	122738	Н	Минимальная нагрузка на изгиб уплотнения [Л.10]
$T_{\text{рас}}$	20	20	20	20	20	20	20	20	20	20	Температура расчетная (обвязка для камисты)
$T_{\text{рас}}$	0	0	0	0	0	0	0	0	0	90	Температура расчетная (переохлаждение)
$T_{\text{рас}}$	20	20	20	20	20	20	20	20	20	80	Температура окружающей среды
$A_0 = \max(A_{\text{сп}}, A_{\text{сп}})$	1320	554	285	504	643	138	440	241	861	мм ²	Минимальная площадь болта
Материал болта	Уп-ст	% хо-мат. ст.	8,8	5,6	Упр-ст	8,8	Чар-ст	5,6	5,6		Материал болта
S_u	93	193	320	156	93	520	93	150	142,5	Н/мм ²	Изменяющее расчетное напряжение болта при теплопературе окружающей среды (табл. Л.1).
S_c	93	193	320	156	93	520	93	150	142,5	Н/мм ²	То же, при расчетной температуре (табл. Л.1).

Подбор количества и размера болтов

d_b	24	12	12	12	12	8	16	20	20	мм	Диаметр болта
n	40	24	20	—	12	8	4	4	4	шт	Количество болто
f_b	853	84	84	84	84	37	157	245	245	мм ²	Действительная площадь болта
$A_0/A_b \cdot n$	—	—	—	—	—	—	—	—	—		Превышение геометрии
$A_0/A_b \cdot n$	14120	2023	1694	1349	1012	293	628	580	580	мм ²	Действительная площадь всех болтов
	91%	75%	83%	63%	36%	53%	30%	75%	85%	%	Запас по болтам

Б.5 Расчет фланца

$t_{\text{сп}} = [G \cdot M / (S_{\text{сп}} \cdot (\pi \cdot C \cdot n \cdot d))]^{1/2} \cdot p$	0	0	0	0	0	0	0	0	Н нет	Требуемая мин. толщина фланца [Л.18]	
	100%	100%	100%	100%	100%	100%	100%	100%	100%	%	Толщина по изысканию

Б.6 Расчет толщины фланца

DN	600	140	400	300	200	100	60	50	600	
d_b	66	67	62	57	49	47	196	190	44	стальной
σ_{max}	0.43	0.3	0.3	0.43	0.43	0.43	0.43	0.43	0.43	Максимальное напряжение в сечении СМ
m_{max}	29.7	20.4	18.6	25.65	22.05	21.15	45	45	19.8	Плотность слоя СМ
t_{max}	1.3	0.7	0.7	1.3	1.1	1.1	1.1	1.1	1.1	Общая толщина СМ
t_s	72.6	47.6	45.4	62.9	53.9	51.7	158	110	48.4	Толщина одного слоя СМ
										Общая толщина слоя

A.6 Болтовое соединение

$$S_{bol} = 2 \cdot d_b + 6 \cdot t_s / (n+0.5) (\sigma_{max}/200000)$$

	140	103	96	127	112	103	213	221	119	нен
n	35	21	19	32	31	9	4	4	21	алт
	Проверка

Проверка давления под шайбами:

Шайба Крепление	Узел	Узел	Узел	Узел	Узел	Справ	Узел	Узел	Стандартная или усиленная?	
	A	C	C	C	C	C	C	C	С глубок, А-точка	
d_s	72	37	37	37	37	24	30	60	60	нен
d_i	25	19.5	19.5	19.5	19.5	9	17.5	22	22	нен
D_h	Ø4	Ø4	Ø4	Ø4	Ø4	Ø4	Ø4	Ø4	Ø4	Проверка

Момент затяжки:

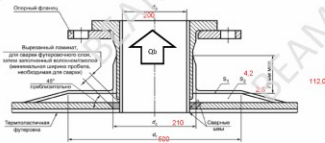
$$M_{max} = F_{max} \cdot (d_i/2n) \approx 0.583 \cdot d_{max} \cdot (d_i + d_s)/4 \cdot \mu$$

$$M_{max} = F_{max} \cdot (d_i/2n) \approx 0.583 \cdot d_{max} \cdot (d_i + d_s)/4 \cdot \mu$$

Резьба болта	Крупн	Крупн	Крупн	Крупн	Крупн	Крупн	Крупн	Крупн	Максимальный момент затяжки	
	Крупн	Крупн	Крупн	Крупн	Крупн	Крупн	Крупн	Крупн	Макс. Крупн?	
n	3	1.75	1.75	1.75	1.75	2	2	2.5	2.5	нен
d_{pred}	21.200	10.360	10.360	10.360	10.360	6.826	14.138	17.662	17.662	нен
d_{real}	36	18	18	18	18	13	24	30	30	нен
μ	0.15	0.15	0.15	0.15	0.15	0.15	0.15	0.15	0.15	Коэффициент трения в опорной поверхности болта

Исходные данные

Наименование патрубка	H1 DN150
Положение патрубка	корпус
Внутренний диаметр ёмкости D	3000 ММ
Диаметр патрубка, d	200 ММ
Толщина стенки патрубка (лайнер-Конст)	5 ММ
Расчетное давление Р	0,2 МПа
	1,874 бар
	20364,40 кН/м ²
Окружная нагрузка в теле патрубка, Q _ф	20 Н/м ²
Минимальная общая масса стекла в патрубке	0,718 кг/м ²
Эффективный диаметр, d ₁ , мм	210
Диаметр приформовки, d ₂ , мм	50
Проверка 3d ₂ <dr<3d ₁	400 < 600
Полный диаметр приформовки, мм	90



Схематическое изображение типовых патрубков:
установленный заподлицо патрубок с термопластичной фурнитурой

Рисунок К.5

К.2.2. Расчет компенсации (основного ламината, индекс 1.0)

Требуемая несущая способность компенсационного ламината A₁, Н:

$$A_1 = d \cdot U_1 = 36750$$

(К.1)

где:

$$U_1 = \max(Q_{\phi}, Q_s) = 175,0 \quad \text{Максимальная расчетная нагрузка в пределах эффективного диаметра отверстия (для отверстий в цилиндрическом корпусе)}$$

Q_φ = 175,0 кгс окружная сила в корпусе

Q_s = 100,0 кгс продольная сила в корпусе

Несущая способность подогранного компенсационного слоя A₁, Н:

$$A_1 = (d - d_1) U_{1,1} = 31020 < 36750 = A_1$$

(К.2)

Увеличить толщину!

Проверка прочности соединения внахлестку:

$$A_1 = S/F = 0,4 \cdot (d - d_1) = 58820 > 36750 = A_1$$

(К.4)

OK, запас 1,6

где:

S = 6 прочность соединения внахлестку при сдвиге (номWR,CSM))

F = 8,4 кгс безопасность, должен быть не меньше, чем K=8,4

Б.1 Расчет толщины компенсации

Пирог (стекло конструкционный слой, без учета зимостойкого):

450/3

Можно уменьшить Ad, Asv, см Р.5.4

ад-цп

Код слоя	Тип армирования	Кол-во слоев n	Армирование (слой n)		Толщина, мм		U _{1,1} , Н·м/м ² ·м	U _{1,1,1} , Н/м
			Плотность слоя n, кг/м ³	пл. н.н.г. n, кг/м ²	слой	общая		
M	М450	3	450	1,35	0,936	2,808	37,8	38
		450/1	450	0	0	0	0	0

Итого: 1,4

2,8

К.2.3. Пересякающий ламинат (индекс 0,7)

Несущая способность при повышенной прочности в ламинате A_B, Н:

$$A_c = (d_s - d_b) \cdot (U_{Lc} + U_{C}) = -39730$$

$A_c + A_c > A_c$? Дополнительной прочности нет

(К.5)

Нагрузка в перекрывающем ламинате, Н·м:

$$Q_2 = \pi d_s^2 / 2 = 21.0 < U_{cr} = U_{ov}$$

OK, запас 3.29

K.2.6. Усилие вырыва (давление Р + сила F и момент M на патрубок)

Усилие вырыва Q_3 , Н·м:

$$Q_3 = P \cdot d_s / 4 + F_z / (\pi d_s / 4) - M_z / (d_s / 4) = 80.0 > U_{cr} = U_{ov}$$

где:

F_z : 3000 Дополнительная максимальная сила на патрубок, Н

F_y : 3000 Дополнительная максимальная сила на патрубок, Н

M_z : 700 Момент, Н·м

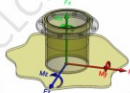
M_x , M_y : 700 Момент, Н·м

Длина перекрывающего слоя в патрубке (не менее 75мм), мм:

$$L_{per} = L_{Lc} = 112.0$$

$$L = Q_3 / K_S = 112.0$$

$$L_{per} = 75$$



(И.1)

Б.1 Расчет толщины перекрывающего ламината

Порог (только конструкционный слой, без учета химстойкого):

$$M_{300} \cdot 3 + T_{300} \cdot 2 + W_{300}$$

1.682

Код слоя	Тип армирования	Кол-во слоев n	Армирование (стекло)		Толщина, мм		U_c , Н·м/1м·кг	U_{ov} Н/мм
			Плотность слоя, г/м ²	Общ. масса слоя, кг/м ²	слой	общая		
M	M300	4	300	1.2	0.624	2.496	28	33.6
T	T500	2	500	1.12	0.841	1.682	34	35.84
		Итого:		2.32		4.2		

Многочлены

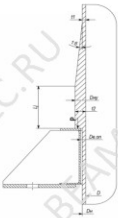


Рис. 1 Решётчная схема

Внутренний диаметр обечайки D, мм	3000	
Толщина обечайки t1, мм	15	
Наружный диаметр обечайки Dn, мм	3030	
Толщина спорного утолщения t2, мм	40	
Наружний диаметр утолщины Dnu, мм	3080	
Внешний диаметр стальной опоры Dc, см	3635	Dc
Нагрузка на опору Р, Н (кг)	1000000 (101941)	

Расчет на сжатие

Площадь опирания А, мм ²	216122
Напряжение под опорой U=P/A, Н/мм ² (МПа)	0,463
Прочность стеклопластика на сжатие, U _c , Н/мм ² (МПа)	62
Расчетная прочность, у=U _c /K, Н/мм ² (МПа)	7,381
Запас прочности, вычислено K=8,4	16,0
	условие выполняется (>1)

PAGE TWO

Эффективная длина опорного утепления, м

L1Q-14組= 14組

四

$Q_u = P_u / \gamma_{\text{eff}} D_{\text{u,eff}}$	10,3	максимальная предельная единичная нагрузка, Н/мм ²
S		прочность сцепления внахлестку при сдвиге для розетки, Н/мм ²
K	8,4	расчетный к-т безопасности

Принятая длина опорного утапления, мм **200**
Запас по длине **13,6** условие выполняется (>1)



ЛАБОРАТОРИЯ ФИЗИКО-МЕХАНИЧЕСКИХ ИСПЫТАНИЙ
ФГУП «НИИ ПОЛИМЕРОВ ИМ. АКАДЕМИКА В.А.КАРГИНА»

Аттестат акредитации лаборатории (центра)
регистра № РОСС.RU 0001.515753 от 11 марта 2011г.
606000 г.Дзержинск Нижегородской обл.
тел. (8313) 27-11-30

ПРОТОКОЛ ИСПЫТАНИЙ № 1
от 24 декабря 2012г.

Заказчик работ – ООО «Роскомстрой»
603079 г.Н.Новгород. Московское шоссе, д. 181
Отбор проб произведен согласно письма от 12.11.2012г., договор № 90049

ЭКСПЕРИМЕНТАЛЬНОЕ ОПРЕДЕЛЕНИЕ
физико-механических свойств
образцов стеклопластика

Наименование показателей	Температура испытания, °C	Результат испытаний	Метод испытания
1. Прочность при разрыве, МПа	21	333	ГОСТ 11262 Образец тип 2, скорость испытания 25мм/мин
2. Разрушающее напряжение при изгибе, МПа	21	тип 1 – 373 тип 2 – 538 тип 3 – 580	ГОСТ 4648
3. Прочность при сжатии, МПа	21	342	ГОСТ 4651 Скорость 25 мм/мин
4. Плотность, г/см ³	21	1,65	ГОСТ 15139
5. Водонглощение за 24 часа, %	21	0,3	ГОСТ 4650

Начальник ОТК -
и.о. заведующего лабораторией



Ю.М.Гершеновой

Расчет кольцевой опоры вертикально подвешенного сосуда на основе BS EN 13121-3:2016

Внутренний диаметр D, мм	4200
Высота емкости H, мм	6076
Вес сосуда максимальный W1, Н (кг)	430 000 (43833)
Количество ног n, шт	4
Частичный фактор действия γf, i	1,2
Коэффициент запаса???	
Вес сосуда с учетом коэф W H (кг)	537 507 (54791)
Внутренний радиус опоры, мм	2161
Наружный радиус утолщения под опору, мм	2177
Радиус R2, мм	50
Расстояние er, мм	2425
Радиус по отверстиям крепления, км	245
Расстояние ee, мм	250
Расчетное сопротивление стали, Ry МПа	133
Расчетное сопротивление стали сдвигу, Rs = 0,85 Ry МПа	

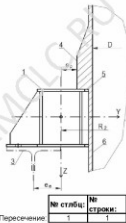


Таблица 30 Изгибающие и скручивающие коэффициенты для расчета кольцевых балок

Кол-во ног, n	4	6	8	12
Нагрузка на каждую ногу W/n	134 375	89 583	67 188	44 792
Мах сдвиг в кольцевых балках W/(n+2)	67 188	44 792	33 594	22 396
Cm1	-0,0342	-0,0148	-0,00827	-0,00345
Cm2	0,0176	0,00751	0,00415	0,0019
Cx	0,335	0,222	0,166	0,111
Ct	0,0053	0,0015	0,00063	0,000185

Изгибающий момент на опоре:

$$M1=Cm1 \cdot W \cdot R2 + 0,16 \cdot W \cdot er, \text{ Н} \cdot \text{м} (H \cdot m)$$

-35 714 142 (-35714)

Изгибающий момент между опорами:

$$M2=Cm2 \cdot W \cdot R2 + 0,16 \cdot W \cdot er, \text{ Н} \cdot \text{м} (H \cdot m)$$

24 892 073 (24892)

Расстояние, где скручающий момент максимальный

$$x=Cx \cdot R2, \text{ мм}$$

729

Максимальный момент кручения

$$T=Ct \cdot W \cdot R2, \text{ Н} \cdot \text{м} (H \cdot m)$$

6 201 522 (6201)

Добавочный момент кручения

$$Tadd=0,5 \cdot W \cdot ee / h, \text{ Н} \cdot \text{м} (H \cdot m)$$

18 679 168 (18679)

Общий момент кручения на опоре

$T = T_{add}$, Н·м(Н м)

22 670 190 (22860)

Нормальные напряжения между опорами:

$\sigma_b = M z / W_y$, Н·мм² (МПа)

91,1

< 184

Ry*0,8

Нормальные напряжения на спире

$\sigma_b = M t / W_y$, Н·мм² (МПа)

107,8

< 184

Ry*0,8

Касательные напряжения между опорами:

$\tau_t = T z / W_z$, Н·мм² (МПа)

44,5

< 106,72

Ry*0,8

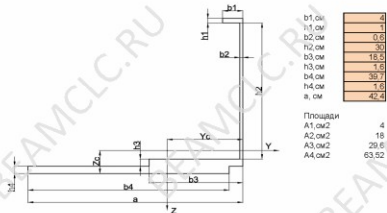
Касательные напряжения на опоре

$\tau_t = \sum T_i z / W_z$, Н·мм² (МПа)

4,4

< 106,72

Ry*0,8

Расстояние до центра тяжести Z_c, см

$$Z_c = \sum (A_i * Z_{ci}) / \sum A_i = 5.075$$

Расстояние до центра тяжести Y_c, см

$$Y_c = \sum (A_i * Y_{ci}) / \sum A_i = 14.937$$

Моменты инерции площади сечения, см⁴

	I _{y1}	I _{y2}	I _{y3}	I _{y4}	I _{yc}
Позлементно	0,333	1 350 000	6,315	13,551	9 121,217
	I _{z1}	I _{z2}	I _{z3}	I _{z4}	I _{zc}
	5,333	0,540	844,17	8 342,770	18 357,475

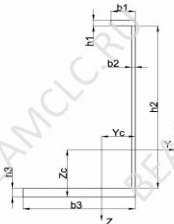
Момент сопротивления, см³

$$W_y = I_{yc} / z = 331,382$$

$$W_z = I_{zc} / z = 5 152,611$$

Статический момент площади полуосечения, см³

$$S_y = \sum A * z = 314,189$$



$b_1, \text{см}$	4
$h_1, \text{см}$	1
$b_2, \text{см}$	0,6
$h_2, \text{см}$	30
$b_3, \text{см}$	18,5
$h_3, \text{см}$	1,6

Площади	
$A_1, \text{см}^2$	4
$A_2, \text{см}^2$	18
$A_3, \text{см}^2$	29,6

Расстояние до центра тяжести $Z_c, \text{см}$

$$Z_c = \frac{\sum (A_i * Z_{ci})}{\sum A_i} \quad 8,738$$

Расстояние до центра тяжести $Y_c, \text{см}$

$$Y_c = \frac{\sum (A_i * Y_{ci})}{\sum A_i} \quad 5,566$$

Моменты инерции площади сечения, см^4

	I_y1	I_y2	I_y3	I_{yc}
Позлементно	0,333	1 360 000	5 315	6 517,530
	I_z1	I_z2	I_z3	I_{zc}
	5,333	0,540	544,27	1 801,836

Момент сопротивления, см^3

$$W_y = I_{yc}/z \quad 273,134$$

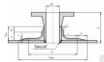
$$W_z = I_{zc}/z \quad 139,309$$

Статический момент площади полу截ения, см^3

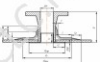
$$S_y = \sum A * z \quad 250,250$$

Приложение 5. Гидравлические схемы для испытаний и проверки

Исполнение 01



Исполнение 02



Исполнение 03



Техническое описание

- 1. Установка для гидравлических испытаний и проверки.
- 2. Труба испытательная, длина
- 3. Кольцо для герметичности, диаметр 100, высота
- 4. Кольцо для герметичности, диаметр 100, высота
- 5. Кольцо для герметичности, диаметр 100, высота
- 6. Кольцо для герметичности, диаметр 100, высота

- 7. Резиновая прокладка для герметичности, диаметр 100, высота
- 8. Резиновая прокладка для герметичности, диаметр 100, высота
- 9. Резиновая прокладка для герметичности, диаметр 100, высота
- 10. Резиновая прокладка для герметичности, диаметр 100, высота
- 11. Кольцо для герметичности, диаметр 100, высота

Номер	Номер на схеме	Состав испытательной установки			Максимальное рабочее давление на испытательной установке			Комплектующие			Максимальное рабочее давление на комплектующих			Максимальное рабочее давление на соединениях			Максимальное рабочее давление на соединениях			
		1	2	3	4	5	6	7	8	9	10	11	12	13	14	15	16	17	18	19
1	1	1	2	3	4	5	6	7	8	9	10	11	12	13	14	15	16	17	18	19
2	2	-	-	-	-	-	-	-	-	-	-	-	-	-	-	-	-	-	-	-
3	3	-	-	-	-	-	-	-	-	-	-	-	-	-	-	-	-	-	-	-
4	4	-	-	-	-	-	-	-	-	-	-	-	-	-	-	-	-	-	-	-
5	5	-	-	-	-	-	-	-	-	-	-	-	-	-	-	-	-	-	-	-
6	6	-	-	-	-	-	-	-	-	-	-	-	-	-	-	-	-	-	-	-
7	7	-	-	-	-	-	-	-	-	-	-	-	-	-	-	-	-	-	-	-
8	8	-	-	-	-	-	-	-	-	-	-	-	-	-	-	-	-	-	-	-
9	9	-	-	-	-	-	-	-	-	-	-	-	-	-	-	-	-	-	-	-
10	10	-	-	-	-	-	-	-	-	-	-	-	-	-	-	-	-	-	-	-
11	11	-	-	-	-	-	-	-	-	-	-	-	-	-	-	-	-	-	-	-
12	12	-	-	-	-	-	-	-	-	-	-	-	-	-	-	-	-	-	-	-
13	13	-	-	-	-	-	-	-	-	-	-	-	-	-	-	-	-	-	-	-
14	14	-	-	-	-	-	-	-	-	-	-	-	-	-	-	-	-	-	-	-
15	15	-	-	-	-	-	-	-	-	-	-	-	-	-	-	-	-	-	-	-
16	16	-	-	-	-	-	-	-	-	-	-	-	-	-	-	-	-	-	-	-
17	17	-	-	-	-	-	-	-	-	-	-	-	-	-	-	-	-	-	-	-
18	18	-	-	-	-	-	-	-	-	-	-	-	-	-	-	-	-	-	-	-
19	19	-	-	-	-	-	-	-	-	-	-	-	-	-	-	-	-	-	-	-

Приложение 6
1. Использование "Гидравлических схем" для проверки. Проверка испытательных установок в соответствии с инструкцией по эксплуатации. Использование "Гидравлических схем" для проверки.
2. Использование схем для проверки испытательных установок в соответствии с инструкцией по эксплуатации.
3. Использование схем для проверки испытательных установок в соответствии с инструкцией по эксплуатации.
4. Использование схем для проверки испытательных установок в соответствии с инструкцией по эксплуатации.
5. Использование схем для проверки испытательных установок в соответствии с инструкцией по эксплуатации.

Номер	Номер на схеме	Максимальное рабочее давление на соединениях		
		1	2	3
1	1	1	2	3
2	2	1	2	3
3	3	1	2	3
4	4	1	2	3
5	5	1	2	3
6	6	1	2	3
7	7	1	2	3
8	8	1	2	3
9	9	1	2	3
10	10	1	2	3
11	11	1	2	3
12	12	1	2	3
13	13	1	2	3
14	14	1	2	3
15	15	1	2	3
16	16	1	2	3
17	17	1	2	3
18	18	1	2	3
19	19	1	2	3